

Пролетарии всех стран, соединяйтесь!

ЕЖЕМЕСЯЧНЫЙ  
НАУЧНО-  
ТЕХНИЧЕСКИЙ  
И ПРОИЗВОДСТВЕННЫЙ  
ЖУРНАЛ

# строительные материалы

№2

(422)

ФЕВРАЛЬ

1990

Издается с января 1955 г.

ОРГАН ГОСУДАРСТВЕННОЙ АССОЦИАЦИИ ПРОМЫШЛЕННОСТИ СТРОИТЕЛЬНЫХ МАТЕРИАЛОВ, НАУЧНО-ТЕХНИЧЕСКОГО ЦЕНТРА ПРОМЫШЛЕННОСТИ СТРОИТЕЛЬНЫХ МАТЕРИАЛОВ (СТРОМИННОЦЕНТРА)

## Содержание

РЕСУРСОСБЕРЕЖЕНИЕ. РАСШИРЕНИЕ СЫРЬЕВОЙ БАЗЫ	ЛАЗОВАТСКИЙ Г. А. Ресурсосберегающая технология разработки нагорных месторождений	2
	ГОРОДЕЦКИЙ В. А., ВАЖЕНИН Е. В., ПАЛИЙ Г. А. Промышленная технология получения высокодисперсного кремнезоля	4
ВОПРОСЫ ПОВЫШЕНИЯ КАЧЕСТВА ПРОДУКЦИИ	МАГДЕЕВ У. Х., ЛИФЩИЦ А. В., ШТЕЙН Б. Я., БИРМАН А. А. Конструкционный золопесчаный бетон и теплоизоляционный полистиролбетон для трехслойных панелей наружных стен	7
	БОЛОТОВА В. Н., ГЕРАСИМОВА Т. В., ВЕДЕХИНА М. Г., ТАВОЛИНА Л. С., ФЕДОСОВА В. А., САВКО В. И. Влияние полиэтиленовых вспенок на свойства битумов и руберона	9
СТАНДАРТИЗАЦИЯ ПРОДУКЦИИ	ТИШЕНКО В. В., НИСНЕВИЧ М. Л., ЛЕВКОВА Н. С. Международная стандартизация в промышленности нерудных строительных материалов и облицовочных материалов из природного камня	12
ИЗ ОПЫТА ЭКСПЛУАТАЦИИ ОБОРУДОВАНИЯ	СТАРЧЕНКО Г. Г. Новая конструкция конических гидравлических грохотов	13
СОВЕРШЕНСТВОВАНИЕ МЕХАНИЗМА ХОЗЯЙСТВОВАНИЯ	ХОРОВ Л. Т., ЗОТОВ Н. П. Картоноделательные и руберонные производства в новых условиях хозяйствования	15
	ПОСЫСАЕВ Н. С. Хозрасчет с применением чеков	17
РЕЗУЛЬТАТЫ НАУЧНЫХ ИССЛЕДОВАНИЙ	ШУБИН В. И., СМАЗНОВ В. В., КУЛАБУХОВ В. А., ХНЫКИН Ю. Ф. Исследование инициирующего влияния ионотермической плазмы на процессы горения угольно-известняковых шихт	20
	ЧЕРНЫХ В. Ф., ЧЕНИКОВ Д. И., ГОЛИКОВА Н. А. Влияние водорастворимых полимеров на сроки схватывания и прочность гипсовых вяжущих	22
	ЭИДМКЯВИЧЮС К. К., АБРАМОВ Г. П., ЛУЖА Б. В., ГУЩИН С. Н., КОНОВАЛОВ О. Н. Физическое моделирование аэродинамических процессов в ванной печи минераловатного производства	25
ИЩЕМ ПАРТНЕРОВ	ГОВЫРИН Б. А. Стеновой комбинированный брус с эффективным утеплителем Как использовать отходы?	27
		30



МОСКА  
СТРОЙИЗДАТ

© Стройиздат, журнала «Строительные материалы», 1990

ЦНТБ на стр-ву  
и архитектуре

# ГОСУДАРСТВЕННАЯ АССОЦИАЦИЯ ПРОМЫШЛЕННОСТИ СТРОИТЕЛЬНЫХ МАТЕРИАЛОВ (Союзстройматериалов) СООБЩАЕТ

ГОСУДАРСТВЕННАЯ АССОЦИАЦИЯ ПРОМЫШЛЕННОСТИ СТРОИТЕЛЬНЫХ МАТЕРИАЛОВ (СОЮЗСТРОЙМАТЕРИАЛОВ) ОБРАЗОВАНА ПО ПРЕДЛОЖЕНИЮ ТРУДОВЫХ КОЛЛЕКТИВОВ ПРЕДПРИЯТИЙ И ОРГАНИЗАЦИЙ ПРОМЫШЛЕННОСТИ СТРОИТЕЛЬНЫХ МАТЕРИАЛОВ В СООТВЕТСТВИИ С ПОСТАНОВЛЕНИЕМ СОВЕТА МИНИСТРОВ СССР «ОБ ОРГАНИЗАЦИИ КОНЦЕРНОВ И ГОСУДАРСТВЕННОЙ АССОЦИАЦИИ ПРОМЫШЛЕННОСТИ СТРОИТЕЛЬНЫХ МАТЕРИАЛОВ». ОНА ЯВЛЯЕТСЯ САМОСТОЯТЕЛЬНЫМ ПРОИЗВОДСТВЕННО-ХОЗЯЙСТВЕННЫМ КОМПЛЕКСОМ, ОСУЩЕСТВЛЯЮЩИМ СВОЮ ДЕЯТЕЛЬНОСТЬ В ИНТЕРЕСАХ ГОСУДАРСТВА И ВХОДЯЩИХ В ЕЕ СОСТАВ ПРЕДПРИЯТИЙ И ОРГАНИЗАЦИЙ НА ОСНОВЕ ДАЛЬНЕЙШЕЙ ДЕМОКРАТИЗАЦИИ УПРАВЛЕНИЯ, УГЛУБЛЕНИЯ ХОЗЯЙСТВЕННОГО РАСЧЕТА, РАЗВИТИЯ САМОФИНАНСИРОВАНИЯ И САМОУПРАВЛЕНИЯ ТРУДОВЫХ КОЛЛЕКТИВОВ.

В состав Государственной ассоциации «Союзстройматериалов» входят концерны «Цемент», «Асбест», «Асбестоцемент», «Техстекло», «Стромтепломаш», «Спецжелезобетон», «Союзминерал», Национально-технический центр промышленности строительных материалов (Строминноцентр), а также обслуживающие отрасль Всесоюзное объединение «Стромсырье», Коммерческий банк развития промышленности строительных материалов (Стромбанк), Всесоюзное внешнеторговое объединение «Стройматериалынторг», Центр подготовки кадров промышленности строительных материалов и отраслевого машиностроения, Строительно-монтажный трест, Торговая хозрасчетная фирма «Комфорт», Центральный штаб военизированных горно-спасательных частей, фирма «Хозбытобслуживание».

Совместно с концернами и Строминноцентром ассоциация объединяет в своем составе более 200 предприятий и организаций по производству цемента, асбеста, асбестоцементных изделий, специального и технического стекла, отопительного оборудования, предметов домоустройства и машиностроительной продукции, специальных железобетонных изделий и конструкций, по добыче и производству неметаллургических материалов, а также специализированные научно-исследовательские, проектные, конструкторские, пусконаладочные, строительные, геолого-разведочные и некоторые другие организации. При этом концерны, предприятия и организации, входящие в ассоциацию, сохраняют свою хозяйственную самостоятельность, отношения между ними строятся строго на договорной основе.

В ассоциацию могут входить как полноправные участники другие хозяйственные объединения, организации и предприятия, а также на правах ассоциированных членов без изменения их ведомственной принадлежности признающие устав ассоциации региональные структурные подразделения в лице минстройматериалов союзных республик, территориальных и отраслевых концернов, объединений, предприятий и организаций, а также заинтересованные в ее деятельности предприятия и организации других отраслей народного хозяйства, включая совместные с зарубежными фирмами предприятия и организации.

Ассоциация взаимодействует с центральными, республиканскими и местными органами государственного управления в пределах полномочий, delegированных ей концернами и организациями, входящими в ассоциацию, и полномочий, переданных ей центральными органами государственного управления. По отношению к входящим в ее состав концернам, предприятиям и организациям она является вышестоящим органом государственного управления в части формирования и доведения до них контрольных цифр, государственных заказов, лимитов, экономических нормативов и других показателей, устанавливаемых органами государственного управления.

На Государственную ассоциацию «Союзстройматериалов» возложена ответственность за удовлетворение потребностей народного хозяйства в продук-

ции по закрепленной за ней номенклатуре и развитие отрасли. В связи с этим основными задачами ассоциации являются:

выработка общесоюзной стратегии развития производства строительных материалов и изделий, технологического оборудования для этих целей и координация ее практического осуществления;

организация разработки и координация выполнения государственных научно-технических программ в части промышленности строительных материалов, важнейших межотраслевых и отраслевых программ, обеспечивающих решение приоритетных задач в развитии отрасли, ускорение темпов ее модернизации, создания новых видов технологического оборудования и систем машин для промышленности строительных материалов, новых эффективных видов продукции, более совершенных и экологически безопасных технологических процессов;

обеспечение комплексного развития сырьевой базы в отрасли, определение мер по рациональному использованию природного сырья, отходов и попутно получаемых продуктов других отраслей промышленности в производстве строительных материалов;

организация разработки совместно с заинтересованными организациями принципиально новых видов исходного сырья и материалов, обеспечивающих коренное повышение качества продукции строительного назначения;

выработка направлений инвестиционной политики, обеспечивающей сбалансированное и пропорциональное развитие всех подотраслей промышленности строительных материалов, машиностроения для этих целей, рациональное размещение производства по союзным республикам и регионам страны по согласованию с союзными республиками;

разработка системы экономических и правовых мер, стимулирующих объединения и предприятия отрасли в наращивании выпуска прогрессивных и остродефицитных строительных материалов и изделий, оборудования для их производства, повышении качества продукции;

организация и методическое руководство работой по ценообразованию в промышленности строительных материалов и отраслевом машиностроении, разработка и экспертиза прейскурантов оптовых цен по важнейшим видам строительных материалов и изделий в соответствии с государственной политикой в этой области;

оказание концернам, объединениям, предприятиям и организациям технической, методической, консультационной и другой помощи в разработке экономических нормативов, осуществлении производственной деятельности, реализации программ развития, внедрении современных форм организаций управления, труда и производства;

проведение совместно с заинтересованными органами работы по изучению спроса населения в продукции и услугах отрасли;

выработка предложений и осуществление мероприятий по развитию экономических и научно-технических связей с зарубежными странами;

руководство отраслевой системой подготовки

кадров, повышения квалификации руководящих и инженерно-технических работников промышленности строительных материалов и отраслевого машиностроения;

изучение, обобщение и распространение передового опыта, организация в отрасли системы информатики;

развитие сервисного обслуживания концернов, объединений и организаций отрасли через расширение сети специализированных хорасчетных организаций;

организация материально-технического обеспечения централизованно распределяемыми ресурсами, оборудованием, запасными частями, совершенствование системы материально-технического обеспечения и транспортных перевозок;

разработка и утверждение балансов и планов распределения продукции по номенклатуре, определенной Госпланом СССР и Госснабом СССР.

Ассоциация осуществляет производственно-хозяйственную и внешнеэкономическую деятельность на всей территории СССР в соответствии с законодательством Союза ССР и союзных республик, на территории других стран — в соответствии с действующими законами и международными договорами.

На Госстрой СССР возложена координация деятельности ассоциации «Союзстройматериалов».

Вышеуказанным постановлением Совета Министров СССР определено, что высшим органом управления ассоциации является Совет, в который входят руководители концернов, объединений, предприятий и организаций.

На состоявшейся 24 ноября 1989 г. учредительной конференции Председателем Совета Государственной ассоциации «Союзстройматериалов» избран П. П. Золотов, заместителями Председателя Совета Ю. Т. Комаров, Н. И. Макаров, А. Ф. Полуянов.

На первом заседании указанного Совета избрано Правление ассоциации в составе: П. П. Золотов — председатель, В. И. Кущиди — первый заместитель председателя; Н. Ф. Рыжов, В. Я. Серебренников, Б. Г. Славцов, Е. В. Филиппов — заместители председателя. Членами Правления с правом решающего голоса избраны В. Е. Авдеев, В. Я. Жук, В. Н. Калинин, М. И. Котов, В. И. Парамонов, А. В. Рязумовский, В. Я. Сидоров, В. И. Чирков, Н. А. Шадрин, членами Правления с правом совещательного голоса — П. П. Вакуленко, Ю. М. Виноградов, В. В. Девятов, Б. М. Тестер, И. С. Цветков.

Более подробную информацию можно получить по адресу: 121908, г. Москва, Г-19, проспект Калинина, 19, Государственная ассоциация «Союзстройматериалов», телефон 202-36-56.

# Ресурсосбережение. Расширение сырьевой базы

УДК 622.332.602.9.004.18

Г. А. ЛАЗОВАТСКИЙ, канд. техн. наук (Московский горный институт)

## Ресурсосберегающая технология разработки нагорных месторождений

Крупнейшей сырьевой базой промышленности нерудных строительных материалов являются многочисленные месторождения, расположенные в горных районах страны. Однако препятствием для ее развития в ряде случаев является стремление использовать в сложных горных условиях традиционные технологии, применяемые обычно при эксплуатации равнинных месторождений. Это приводит к увеличению капитальных затрат, затрудняет эксплуатацию, а в ряде случаев ведет к закрытию отдельных карьеров, расположенных в этих районах.

Тяжелые условия эксплуатации автотранспорта на нагорных карьерах в значительной степени увеличивают себестоимость транспортирования горных пород (в основном за счет удороожания автоперевозок по затяжным наклонным петлеобразным трассам), которая может превышать себестоимость транспортирования пород на карьерах равнинного типа в 1,5 и более раз.

В этих условиях развитию отрасли может способствовать внедрение специальных технологических комплексов горных работ [1], основанных на использовании ресурсосберегающего гравитационного транспорта (транспорта материала под действием собственного веса с верхних рабочих горизонтов). Применение этих технологических комплексов может обеспечить сокращение расстояния транспортирования в 2 и более раза и соответственно уменьшить материальные, топливно-энергетические и другие затраты как за счет сокращения парка автотранспорта, так и благодаря исключению необходимости его эксплуатации на наиболее сложных участках трасс — затяжных петлеобразных спусках (на которых затраты ресурсов существенно возрастают).

Известен опыт эффективной эксплуатации целого ряда крупных нагорных карьеров горно-рудной и горно-химической промышленности при использовании указанных технологических комплексов работ [2, 3]. Основное применение в этой отрасли получил технологический

комплекс работ, который может быть назван механизированно-гравитационным. Он основан на сочетании механизированных средств производства погрузочно-транспортных работ на верхних (а обычно также и на нижних) горизонтах карьера с гравитационным транспортированием горной массы от верхних (рабочих) к нижним (откаточным) горизонтам [4]. В качестве вскрывающих выработок для гравитационного транспорта на более крупных карьерах указанных отраслей горно-добывающей промышленности используют обычно карьерные рудо- или породоспуски (т. е. подземные горные выработки) в комплексе с капитальными штолнями или тоннелями.

Известны однако отдельные случаи эффективного применения породоспусков также и на карьерах промышленности строительных материалов. Например, в США — на гранитно-гнейсовом (щебеночном) карьере (производственная мощность — 1600 т/ч), расположенным на крутом склоне горы. В целях сохранения ландшафта местности и экономии средств цех первичного дробления был размещен в подземной камере. Из карьера автотранспортом порода доставляется

ся к породоспуску, по которому поступает к первичной дробилке, затем по штолням — на вторичное дробление и далее — на бетонный завод. Экономия от внедрения данной технологии (при автоматизированном управлении подземным цехом с центрального пульта) — около 1 млн. долларов.

Вместе с тем карьерные породоспуски с капитальными штолнями — сложные сооружения, требующие значительных капитальных и эксплуатационных затрат [2]. Кроме того, наличие комплекса подземных сооружений и подземного транспорта усложняет открытые горные работы. Поэтому на небольших нагорных карьерах при использовании механизированно-гравитационного технологического комплекса более рационально применять породоскаты, т. е. открытые горные выработки для гравитационного транспорта.

Данный комплекс работ при вскрытии рабочих горизонтов породоскатами успешно внедрялся в целом ряде случаев за рубежом, например, на гранитных (щебеночных) карьерах Пенкэнмоор и Тревор в Великобритании, известняковом (щебеночном) карьере Новый Онтарио в Канаде, на отдельных карьерах в КНДР и Южной Корее, США, ФРГ, ряде стран Южной Америки и др.

Вариант механизированно-гравитационного технологического комплекса,ключающего транспортирование полезного ископаемого с верхних рабочих горизонтов по склону, используется в Югославии (рис. 1) на одном из нагорных карьеров производительностью 2 млн. т в год.

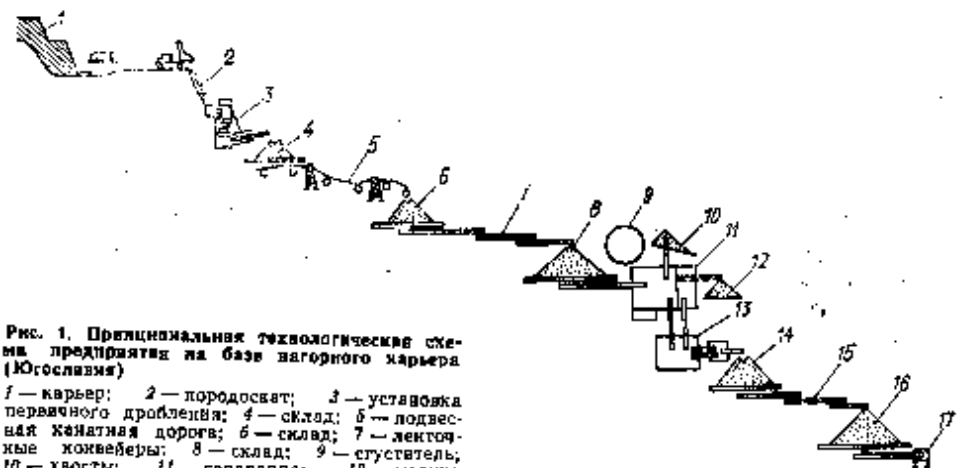


Рис. 1. Практическая технологическая схема предприятий на базе нагорного карьера (Югославия)  
1 — карьер; 2 — породоскатель; 3 — установка первичного дробления; 4 — склад; 5 — подвесная канатная дорога; 6 — склад; 7 — ленточные конвейеры; 8 — склад; 9 — измельчитель; 10 — хвосты; 11 — сепаратор; 12 — мелкие классы; 13 — установка вторичного дробления; 14 — склад; 15 — ленточные конвейеры; 16 — склад; 17 — вагоны

Из забоя карьера горная масса автосамосвалами доставляется к верхней разгрузочной площадке бетонированного ската, в нижней части которого приземный бункер высотой 10 м и вместимостью 10 тыс. т. Из бункера горная масса направляется на качающейся платформой длиной 3 м, шириной 1200 мм, производительностью 450 т/ч, подающий ее в первичную дробилку с приемным отверстием 600×700 мм. Крупногабаритные куски отбираются установленным над дробилкой краном грузоподъемностью 15 т.

После дробления продукция с крупностью кусков до 150–180 мм подается на либропитатели и затем на расположенный в тоннеле (сечением 3×4 м) конвейер длиной 300 м, шириной ленты 750 мм, с углом наклона 18° и производительностью 300 т/ч, откуда далее — на открытый склад вместимостью 10 тыс. т. Скада продукция ленточными конвейерами транспортируется по канатной дороге протяженностью 1,1 км на другой открытый склад вместимостью 50 тыс. т.

Далее, с помощью двух виброплитателей материал подается на ленточный конвейер длиной 2,6 км, производительностью 400 т/ч, которым доставляется на склад обогатительной фабрики. Энко канатной дороги в системе транспорта перекрывает глубокую ящину, где применение ленточных конвейеровказалось невозможным, вследствие необходимости использования опор значительной высоты. Работа канатной дороги полностью автоматизирована, обслуживает ее 3 чел.

В последние годы были выполнены соответствующие исследования также и в нашей стране.

Представляет интерес пример эксплуатации породоскатов с бункерами и погрузочными устройствами на нагорном известняковом карьере Стерлитамакского цементно-содового завода (рис. 2). Этот карьер разрабатывает месторождение на горе Шах-Тау. Все рабочие горизонты его были вскрыты двумя породоскатами, по которым горная масса транспортируется с верхних горизонтов, а отдельные горизонты — полутраншеями-автодорогами, примыкающими к основной автодороге. Последняя используется для доставки с промплощадки на карьер обслуживающего персонала и материалов. Взорванный известняк из забоев карьера доставлялся автосамосвалами к породоскату № 1, на нижней приемной площадке которого перегружался в автосамосвалы и далее доставлялся к породоскату № 2.

Необходимость сооружения двух последовательно расположенных породоскатов с передозкой горной массы между

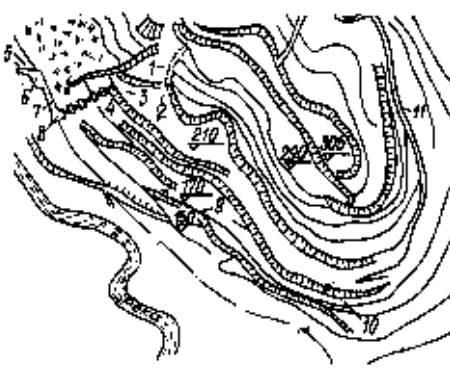


Рис. 2. Схема вскрытия рабочих горизонтов на нагорном карьере Стерлитамакского цементно-содового завода

1 — породоскатель № 1; 2 — погрузочная площадка; 3 — бункер; 4 — породоскатель № 2; 5 — подвесная канатная дорога (ПКД); 6 — погрузочная станция ПКД; 7 — фабрика; 8 — бункер фабрики; 9 — автодорога на горизонте 170 м; 10 — автодорога с горизонта 170 м на горизонт 210 м; 11 — автодорога с горизонта 210 м на вышележащие горизонты

дугими автотранспортом, обусловленная стремлением к созданию более благоприятных условий для долговечности конструктивных элементов в нижней части скатов, является недостатком данного варианта, снижающим технико-экономические показатели карьера.

Вместе с тем внедрение породоскатов позволило сократить расстояние транспортирования горной массы из карьера на завод более чем в два раза, при сокращении себестоимости транспортирования.

В целях расширения области эффективного применения механизированно-гравитационного технологического комплекса, в первую очередь на нагорных карьерах отрасли, Московским горным институтом было предложено в более сложных природных условиях использовать вариант его с перегрузкой горной массы на нижних горизонтах, при вскрытии рабочих горизонтов породоскатами без специальных погрузочных устройств. Такой породоскатель — наклонная выработка (либо поверхность) на крутом склоне яссогора состоит из верхней разгрузочной площадки, собственно ската и нижней приемной площадки, на которой горную массу перегружают в средства транспортирования.

Для обеспечения непрерывной и безопасной эксплуатации породоскатов дан-

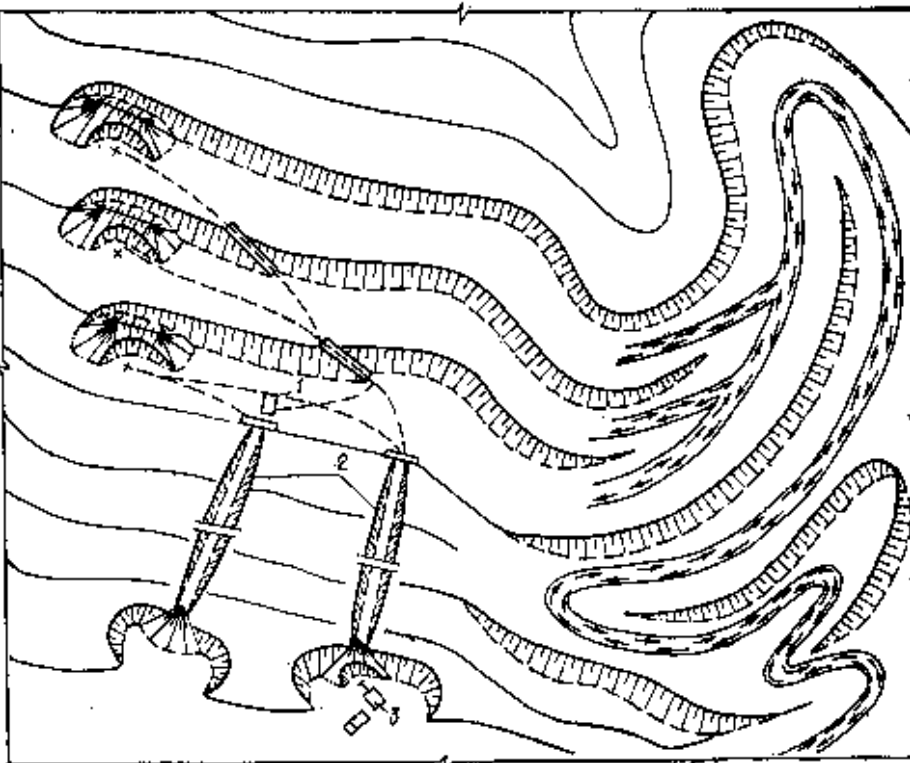


Рис. 3. Принципиальная схема вскрытия рабочих горизонтов на карьере Минераловодского химико-производства при использовании породоскатов  
1 — автосамосвал на верхней разгрузочной площадке породоската; 2 — породоскатель; 3 — экскаватор на нижней приемной площадке породоската

ного типа целесообразно сооружать не менее двух скатов. Во время спуска горной массы по одному из них на другом породоскате внизу производится перегрузка материала. Возможны, однако, и другие режимы их эксплуатации.

Ряд отличительных особенностей породоскатов этого типа, в том числе простота устройства, небольшие капитальные и эксплуатационные затраты на их обустройство и содержание, в сочетании с достаточно высокой надежностью при эксплуатации, в частности, вследствие отсутствия простое из-за смераимости горной массы, аккумуляция определенных объемов горной массы на нижних площадках в качестве промежуточных складов, способствующих повышению ритмичности работы всего технологического комплекса, могут обеспечивать соответствующие преимущества и значительно расширить область эффективного применения данной технологии.

Породоскаты этого типа по рекомендации Московского горного института были использованы впервые в опытно-промышленных условиях на нагорном трахильтитиковом щебеночном карьере

Минераловодского карьерауправления для вскрытия верхних рабочих горизонтов (рис. 3). Месторождение, помимо сложной топографии, характеризуется еще и тяжелыми климатическими условиями (сильные ветры, частые туманы, зимой — снежные заносы, гололед). В период выполнения горно-строительных работ на карьере были обустроены два породоската высотой 160 и 180 м. Использование их сократило расстояние транспортирования с 5 до 3,5 км (путем исключения необходимости перемещения груженых автосамосвалов по затяжной петлеобразной трассе). Себестоимость транспортирования породы снизилась при этом на 30%, а общая себестоимость разработки — примерно на 15%, без учета экономии от увеличения долговечности автосамосвалов.

Эта же технология была рекомендована и принята к внедрению для условий постоянной эксплуатации на основном участке добочных работ карьера (с горизонта 779 м и выше). Был составлен проект применения данной технологии со строительством двух стационарных породоскатов без погрузочных уст-

ройств. В последующем, однако, на данном предприятии горно-добывающие работы были закрыты, вследствие чего проект не мог быть использован.

Проектные решения с применением аналогичной технологии, включающей в себя вскрытие рабочих горизонтов породоскатами указанного типа, были разработаны и для ряда других нагорных карьеров отрасли — для Заслерского щебеночного карьера (Сахалинская обл.), карьера Айрумского щебеночного завода (Армянская ССР) и др.

Весьма эффективным явилось применение этой технологии при открытой разработке нагорного массива скальных пород на строительстве гидроузла Саяно-Шушенской ГЭС. Очень значительная крутизна склона создавала большие трудности для его открытой разработки. Особенность сложной представлялась проблема вывозки породы с верхних рабочих горизонтов.

На основании технико-экономического сравнения ряда конкурентоспособных вариантов был принят, как наиболее рациональный, вариант с вскрытием рабочих горизонтов породоскатами без специальных погрузочных устройств (рис. 4). При этом по эксплуатационным расходам принятый к внедрению вариант оказался намного дешевле по сравнению с наиболее рациональным из сопоставимых. Капитальные затраты по принятому варианту были минимальны. Этому способствовало, помимо экономичности данного варианта вскрытия, максимальное использование проектировщиками и строителями для устройства породоскатов естественных складок рельефа местности.

В процессе проектирования, в соответствии с указанными выше разработками МГИ, были приняты конструктивные элементы и технологический режим безопасности и надежной эксплуатации породоскатов. За период использования технологии был успешно выполнен объем горных работ на данном участке строительства плотины Саяно-Шушенской ГЭС, с существенным экономическим эффектом, что подтвердило эффективность ее применения в весьма сложных природных условиях труднодоступной гористой местности.

На одном из наиболее ответственных участков строительства Хаабинского гидроузла в СРВ, характеризовавшемся сложными топографическими условиями, советскими специалистами была предложена и затем успешно внедрена технология открытых горно-строительных работ с использованием породоскатов без специальных погрузочных устройств. Это позволило отработать около

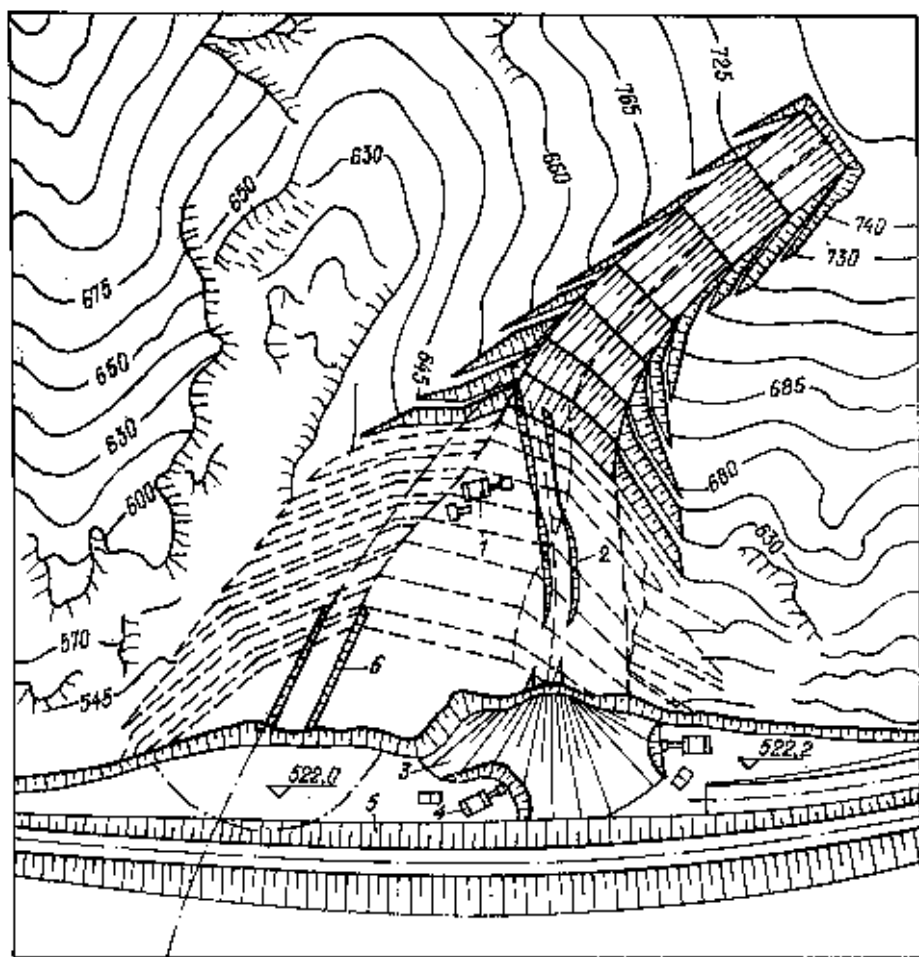


Рис. 4. Принципиальная технологическая схема разработки нагорного массива скальных пород с использованием породоскатов на строительстве Саяно-Шушенской ГЭС  
1 — экскаватор на верхнем рабочем горизонте; 2 — породоскатель № 1; 3 — штабель горной массы на нижней приемной площадке; 4 — перегрузочный экскаватор; 5 — защищенный целик; 6 — породоскатель № 2

Предприятие	Производственная мощность, обесеченая горной-рудоискательской промышленностью, тыс. т в год	Число скатов	Основные параметры скатов			Способ погрузки (разгрузки) горной массы на винтовых площадках скатов
			Угол наклона к горизонту, град.	Высота, м	Ширина ската, м	
Известняковый карьер Стерлитамакского цементно-сырьевого завода	1300	2	До 45	80 и 60	4,8—8	Специальными погрузочно-разгрузочными устройствами
Карьер Айрунского щебеночного завода (проект)	500	2	До 64	60	—	Без специальных погрузочных устройств (с перевозкой горной массы на винтовых приемных площадках скатов)
Комплекс горно-строительных работ при сооружении гидроузла Санко-Шушенской ГЭС	630	2	До 70	100	—	То же
Нагорный карьер (Югославия)	2000	1	—	40	7,5	Специальными погрузочно-разгрузочными устройствами
Комплекс горно-строительных работ при сооружении Хобяйского гидроузла (ОРВ)	1100	2	До 45	60	—	Без специальных погрузочных устройств (с перевозкой горной массы на винтовых приемных площадках скатов)

600 тыс. м<sup>3</sup> скальных пород при значительном сокращении общего расстояния перевозки пород автотранспортом, что увеличило его производительность на 25—30%, и соответствующем экономическом эффекте, а также существенно интенсифицировать весь комплекс от-

крытых горно-строительных работ на данном объекте.

В последние годы механизированно-правильационный технологический комплекс при вскрытии рабочих горизонтов породо- или рудоскважин без специальных погрузочных устройств получает

распространение как в нашей стране, так и за рубежом (см. таблицу).

В целом при использовании ранее предложенной ресурсосберегающей технологики на различных предприятиях, расположенных в разнообразных топографических, горно-технологических и климатических условиях горных районов, за истекший период были эффективно отработаны миллионы тонн скальных пород и руд.

Таким образом, совершенствование горно-транспортных и горно-строительных работ на нагорных предприятиях путем использования ресурсосберегающей технологии, включающей звенья гравитационного транспорта, в том числе, в соответствующих условиях, — предложенного варианта ее, обеспечивает возможность более активного освоения перспективных месторождений в сложных природных условиях горных районов.

#### СПИСОК ЛИТЕРАТУРЫ

1. Ржевский В. В. Технология и комплексная механизация открытых горных работ. — М.: Недра, 1980.
2. Карьиевые рудоспуски / В. В. Ржевский, А. И. Арсентьев, Р. С. Пирников и др. — М.: Недра, 1988.
3. Ржевский В. В., Аристратов Ю. И., Ильин С. А. Открытые горные работы в сложных условиях. — М.: Недра, 1964.
4. Лазоватский Г. А. Технологические комплексы добывочных работ на нагорных карьерах строительных материалов // Сб. науч. тр. «Научные основы создания высокопроизводительных комплексно-механизированных карьеров» / МГИ. — М., 1981.

кремнезоль может быть получен лишь на ранних стадиях ионообменного процесса, после чего требуется регенерация катионита. Неполное использование ионообменной емкости катионита является причиной не только низкой производительности процесса, но и малого объема готового продукта.

Увеличение объемов кислого кремнезоля приводят к тому, что коллоидный раствор получается неустойчивым, с продолжительностью жизни до гелирования в несколько десятков минут. Одновременно с наработкой такого золя (вплоть до момента его стабилизации) в растворе происходит рост микелл и агрегация частиц. Описанные явления — многофакторные и практически неупреченные. В результате этого воспроизводимость физических характеристик готового продукта, полученного в разных процессах, не удовлетворяет требованиям, предъявляемым к качеству кремнезоля промышленного производства. Не

УДК 666.162.902.387

В. А. ГОРОДЕЦКИЙ, инж., Е. В. ВАЖЕНИН, инж., Г. А. ПАЛИЙ, инж.  
(ВНИИэнергоцветмет, Свердловск)

## Промышленная технология получения высокодисперсного кремнезоля

Широкое применение золей кремневой кислоты в качестве связующего волокнистых теплоизоляционных материалов, эффективных в теплотехническом строительстве, сдерживается отсутствием промышленных технологий по производству высокодисперсного кремнезоля со средним размером зерна 30—80 Å, обладающих наилучшими связывающими свойствами [1].

В отечественных [2] и зарубежных [3, 4] публикациях внимание уделяется ионообменным способам получения кремнезоля. Большинство технологических

схем основано на методах стабилизации кислых золей до устойчивого состояния при pH=8—10 с использованием стабилизирующих ионов из ряда Li<sup>+</sup>, Na<sup>+</sup>, K<sup>+</sup>, KN<sub>4</sub><sup>+</sup> и др., либо с применением многоатомных спиртов, эфиров, органических соединений сахаров и т. д.

Принципиальным недостатком указанных технологий, ограничивающим их промышленное использование, являются низкая производительность и плохая воспроизводимость физических характеристик готового продукта. Это объясняется следующим. Кислый устойчивый

велика также степень использования ионообменной емкости катионита.

Попытки устранить нежелательные явления при получении кремнезоля путем увеличения скорости пропускания раствора силиката щелочных металлов через ионообменную колонну (до  $3700 \text{ л/мин} \cdot \text{м}^2$ ) приводят к необходимости жесткой стабилизации как скорости раствора, так и его температуры [5]. Однако терmostатирование большого объемного реакционного пространства и автоматическое регулирование скорости растворов в промышленных условиях не решали технологических проблем.

ВНИИэнергосвестмет (г. Свердловск) разработана промышленная технология получения высокодисперсного кремнезоля, который использовался в производственном объединении «Уралэнергосвестмет» и на Первоуральском динасовом заводе в качестве связующего при изготовлении муллитокремнеземистых покрытий материалов. Созданы установки производительностью 5 и 20 т кремнезоля в сутки.

В предложенной технологии, как и в ряде известных [6], предусмотрено пропускание водного раствора щелочного металла через катионит в  $\text{H}^+$ -форме и подщелачивание кислого кремнезоля щелочным кремнезолем, получаемым из этой же ионообменной колонны.

Исходным сырьем для получения кремнезоля служит тонкое жидкое стекло с модулем 2,7–3, из которого готовят раствор силиката натрия с концентрацией диоксида кремния 3,5–4,5% по массе. Раствор пропускают через ионообменную колонну, заполненную катионитом — синтетической смолой марки КУ-2-8 в  $\text{H}^+$ -форме, отмытой от кислоты. Объем колонны соответствует производительности установки и количеству смолы с учетом ее обменной емкости и коэффициента набухания, а соотношение размеров колонны определяется экспериментально. Отработанную смолу регенерируют 5%-ным раствором серной кислоты с последующей утилизацией отходов.

За один технологический цикл получают 600–800 л высокодисперсного кремнезоля со следующими техническими характеристиками:

влагоизбыточный вид . . . . .	сплавляющийся раствор желтовато-бежевого цвета
размер зерна, м . . . . .	30–50
водородный показатель, pH . . . . .	8,5–9
содержание диоксида кремния, % (по массе) . . . . .	3–4
сплавляющее отношение . . . . .	(150 : 1) — (200 : 1)
удельная поверхность дисперской фазы по адсорбции окиси титана, м <sup>2</sup> . . . . .	500–900
плотность, г/см <sup>3</sup> . . . . .	1,01–1,034
вязкость, сПз . . . . .	1,4–1,8
срок хранения, мес, не более . . . . .	12



Фрагмент периферийного участка муллитокремнеземистой плиты после ее сушки  
1 — агрегатировавшиеся образования кремнезоля; 2 — муллитокремнеземистое волокно

В отличие от существующих способов, в которых стабилизация кислого кремнезоля осуществляется щелочным кремнезолем при их отношении 50:2,5 (по массе) в рассматриваемой технологии исходное сырье используется практически на 100% при увеличении производительности установки в 3–4 раза. Сберегается не только исходное сырье, 47,5% которого уходило в отходы в виде гелировавшего щелочного кремнезоля, но в связи с сокращением числа технологических циклов снижаются расходы других видов материальных ресурсов — раствора серной кислоты, промышленных вод и др.

Высокодисперсный кремнезоль — это готовый раствор-связующее, непосредственно в котором диспергируют волокно, например, муллитокремнеземистое, чтобы получить гидромассу, используемую для изготовления теплоизоляционных изделий. После формования заготовки последних кушат вакуумированием до удаления влаги и подвергают термообработке.

В процессе сушки изделий в силу капиллярных явлений совместно с влагой с его поверхности диффундируют коллоидные частицы кремнезоля. Прилегающие к поверхности слои обогащаются золем и при потере влаги агрегатируются с образованием горячей. На поверхности изделия образуется корка повышенной механической прочности.

На рисунке (10000-кратное увеличение) изображена фрагмент прилегающего к теплоизолируемой поверхности участка теплоизоляционной плиты после ее сушки. Диаметр агрегатировавшихся образований золя 1 и 100–200 раз превышает размеры зерна раствора-связующего. Волокна 3 склеены между собой, расположенным по их частично соприкасающимся поверхностям агрегатировавшимся образованием кремнезоля 2.

Муллитокремнеземистые плиты, изготовленные на неорганическом связующем — золе кремнепной кислоты, в зависимости от типа керамического покры-

тия, характеризуются следующими показателями:

теплопроводность при средней температуре $600 \pm 25^\circ\text{C}$ , Вт/(к·К)	0,32–0,24
предел прочности при изгибе, МПа	0,08–0,1
изажущая плотность, кг/м <sup>3</sup>	240–370
жаростойкость температурная усадка, %	2–3
изменение массы при горячевакуумировании, %	1–1,5

Фурнажка котельно-печного оборудования таким плитам практически позволяет исключить аккумулирование тепла и тепловой изоляции, снизить на 25–30% теплопотери, получить экономический эффект 6–10 тыс. р. на 1 т теплоизоляционного материала.

#### СПИСОК ЛИТЕРАТУРЫ

- Cast Metals Research Journal, V. 10, No 4, p. 149, 1979, v. 11, No 1, p. 21, 1974.
- Получение гидрозолей кремнезема, используемых в качестве связующего / Ю. Г. Фролов, В. Н. Лебедев, А. Н. Федосеев и др. // Химическая промышленность. 1985. № 10.
- Альбер Р. К. Химия кремнезема. — М.: Мир, 1962. Ч. 2.
- Патент США № 3635578, ИКИ 232–313. High surface area stabilized silica soils and process for preparing same. Paul C. Yates, Wilmington, Del., 1972.
- Патент США № 3468844, ИКИ 232–313. Method of Producing Acid Silica Sols., M. Mindich, C. Hills, L. Reven 1969.

#### Новые книги

**Строительные материалы: Справочник / А. С. Болдырев, П. П. Золотов, А. Н. Люсов и др.; Под ред. А. С. Болдырева, П. П. Золотова. — М.: Стройиздат, 1989. — 567. ил.**

Приведена классификация, характеристика составов и свойств строительных материалов. Описаны минеральное сырье, его добыча и приготовление шихт. Овещены последние достижения техники и технологии. Даны характеристики современного технологического оборудования, приборов и аппаратов для испытаний, автоматического контроля и управления процессами производства строительных материалов.

Книга адресована инженерно-техническим и научным работникам промышленности строительных материалов и строительства.

# Вопросы повышения качества продукции

УДК 696.973.3 + 598.748.82.06—405.8.662.998

У. Х. МАГДЕЕВ, д-р техн. наук, А. В. ЛИФШИЦ, канд. техн. наук,  
Б. Я. ШТЕЙН, инж. (НИПТИ «Мосмаш»), А. А. БИРМАН, инж.  
(Комбинат железобетонных изделий № 2 ПСО «Мостстрой»)

## Конструкционный заполесчаный бетон и теплоизоляционный полистиролбетон для трехслойных панелей наружных стен

Повышение теплоизоляционных функций наружных стековых панелей зданий является вопросом весьма актуальным. В связи с этим возникла необходимость перевести ряд домостроительных предприятий Москвы, выпускающих однослоевые стековые панели, на обеспечение имеющие зданиям нужную тепловую защиту, на производство трехслойных панелей с более высокими теплоизоляционными свойствами по сравнению с первыми.

Трехслойные наружные стековые панели, выпускаемые на предприятиях Мосстройкомитета, при толщине слоя утеплителя — пенопласт (ПСБ-С) в основном 100 мм (150 мм лишь в подоконной части) должны иметь расчетное приведенное сопротивление теплопередаче ( $R_{\text{пр}}$ ), равное 1,85  $\text{м}^2 \cdot \text{ч} \cdot ^\circ\text{C}/\text{кал}$ . Результаты обследования 3-слойных панелей показали, что в них имеются «мостики холода», появляющиеся вследствие затекания бетонной смеси в места расположения каркасов, встыки между панелями утеплителя ПСБ-С и по контуру панелей. Наличие «мостиков холода» снижает фактическое сопротивление теплопередаче стековых панелей на «гибких связях» на 20–26% по сравнению с расчетными значениями. Кроме того, водоизглощение плит ПСБ-С значительно (в 1,5 раза) превышает допускаемое ГОСТ 15688–70—100% по массе.

Анализ 3-слойных стековых панелей разных типов показал, что коэффициент приведения  $r$  от расчетного значения  $R_{\text{пр}}$  к фактическому  $R_{\text{пр}}$  колеблется от 0,89 до 0,68, что говорит о значительной теплотехнической неоднородности отдельных участков таких панелей с утеплителем — пенопластом.

В НИПТИ «Мосмаш» Мосгорисполкомом исследована возможность устранения теплотехнической неоднородности трехслойных наружных стековых панелей. Предложена панель с ограждающими слоями из заполесченного бетона марки М 200 и средним слоем из теплоизоляционного полистиролбетона. Такая панель

более однородна в теплотехническом отношении, к тому же менее трудоемка в изготовлении.

Для составов теплоизоляционного полистиролбетона со средней плотностью 300–400  $\text{кг}/\text{м}^3$  использованы следующие материалы: гранулированный пенополистирол комбината «Стройпластикс» насыпной плотностью 24–26  $\text{кг}/\text{м}^3$ ; портландцемент М 400 цементного завода «Гигант»; каменноугольная зола ТЭЦ 22 с п.п.=20%;  $S_{\text{уд}}=3000 \text{ см}^2/\text{г}$ ,  $\rho_{\text{вод}}=1000 \text{ кг}/\text{м}^3$ ; воздуховлагоизделяющая добавка СДО (ТУ 13-05-02-83), суперпластификатор С-З (ТУ 8-14-19-253-79).

Гранулометрический состав используемого в опытной панели полистирала, % по объему: фракции 0–2,5 мм — 14,3; 2,5–5 мм — 35; 5–10 мм — 50; >10 мм — 0,7.

Расход на 1  $\text{м}^3$  бетона гранулированного полистирала в экспериментах был принят равным 0,85–0,9  $\text{м}^3$ . При выпуске опытных панелей — 0,95  $\text{м}^3$  (с учетом сжатия — 5%). Количество цемента варьировало от 230 до 300 кг на 1  $\text{м}^3$ . Содержание добавки СДО — 0,2–0,25%; С-З — 0,3–0,6% массы цемента, золы 50–70 кг. Вода дозировалась в зависимости от требуемой удобоукладываемости полистиролбетонной смеси. Этот показатель устанавливали как по жесткости смеси,  $c$ , определяемой на приборе И. М. Красного (ГОСТ 10181–81), так и по осадке ковша «Строй-ЦНИЛ».

Смесь перемешивали в лабораторных лопастных мешалках вместимостью 10 и 40 л. Добавки вводили в полистиролбетонную смесь вместе с водой затворения.

Порядок загрузки и перемешивания компонентов такой. Гранулированный полистирол в течение 1 мин перемешивали с 1/4–1/5 частью водного раствора добавок, затем в работающую мешалку загружали цемент и одновременно оставшуюся воду с добавками. Перемешивание происходило еще в течение

2–3 мин, пока не достигалось оптимальное воздуховлагоизделяние смеси. После этого смеси выгружали из мешалки и на лабораторной виброплощадке формировали образцы-кубы. Одновременно определяли удобоукладываемость смеси. Часть образцов формировали сразу, другие — спустя 10–20 мин для установления потерян вибрационного воздуша и динамики изменения средней плотности полистиролбетонной смеси во времени.

Для определения оптимальных временных интервалов, через которые можно укладывать бетон верхнего слоя панели, образцы формовали последовательно: сначала в форму (с ребром 20 см) на высоту 12 см укладывали полистиролбетонную смесь заданной удобоукладываемости, затем через определенные интервалы времени — 20, 40, 60 мин с высоты 1 м загружали слой заполесченного бетона. Уложенную смесь подвергали виброуплотнению.

Образцы, прошедшие тепловлажностную обработку, расчищали и визуально определяли смещение бетонных слоев по отношению друг к другу.

Аналогичные исследования выполняли также на фрагментах изделий размером 50×60×20 см. Это позволило установить оптимальные показатели удобоукладываемости полистиролбетонных смесей, а также временные интервалы укладки заполесченного бетона, при которых не происходит смещения слоев.

Разработаны составы теплоизоляционного полистиролбетона со средней плотностью 300–365  $\text{кг}/\text{м}^3$  и прочностью после тепловлажностной обработки ( $R_{\text{пр}}$ ) — 5–7 кгс/см<sup>2</sup>. Составы изготавливались с добавлением 0,2% СДО. Их удобоукладываемость составляла:  $J=1$ —3 с и  $O\bar{K}=6$  см. Уложить слой заполесченного бетона на подвижную полистиролбетонную смесь указанной удобоукладываемости без взаимного смещения слоев не удалось даже спустя 60 мин из-за низкой структурной прочности смеси.

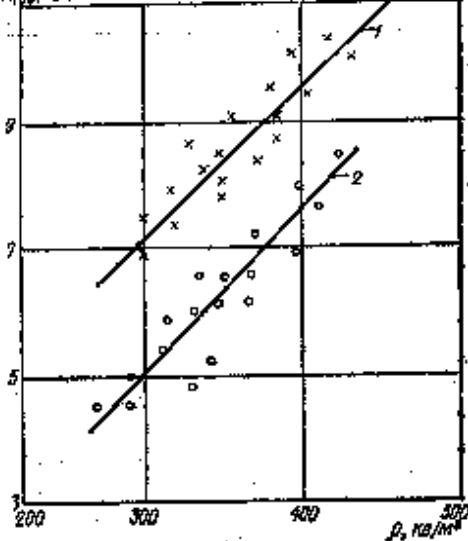
Рис. 1. № 1/см<sup>2</sup>

Рис. 1. Зависимость прочности полистиролбетона от его плотности  
1 — полистиролбетон с добавкой СДО; 2 — тот же, СДО и С-3

Исследовали возможность получения теплоизолированного полистиролбетона с  $\rho_{\text{сух}} = 300-385 \text{ кг}/\text{м}^3$  и прочностью после тепловлажностной обработки 5—10 кг/см<sup>2</sup> при использовании менее подвижных смесей (жесткость 5—7 с; ОК 3—4 см), что позволило бы укладывать верхний слой бетона либо сразу после приготовления первого, либо через минимальный отрезок времени — 20—30 мин. При этом для сохранения заданного воздухововлечения смеси и повышения прочности полистиролбетона в смесь вводится суперпластификатор С-3. Влияние комплексных добавок (СДО+С-3) на прочность полистиролбетона показано на рис. 1.

В данном случае при оптимальной (с точки зрения возможности укладки верхнего слоя бетона) удобоукладываемости полистиролбетонной смеси, полученной за счет снижения на 20—30 л на 1 м<sup>3</sup> расхода воды достигается увеличение прочности полистиролбетона на 20—25 %. Другой, более эффективный способ получения оптимальной удобоукладываемости полистиролбетонной смеси — это добавка небольшого количества (50—70 кг на 1 м<sup>3</sup>) золы ТЭЦ, которую вводят в хорошо поризованную подваженную полистиролбетонную смесь (Ж=1—3 с; ОК=6—7 см) в конце перемешивания.

Зола, обладая высокой водопотребностью, поглощает из смеси часть воды и снижает ее консистенцию до оптимальных значений (Ж=5—7 с; ОК=3—4 см) без уменьшения воздухововлечения смеси.

Следует отметить, что золу в полистиролбетонную смесь вводят взамен части цемента. Это в свою очередь обусловливает улучшение и теплофизических свойств полистиролбетона. Кроме того, зола ТЭЦ повышает связность полистиролбетонной смеси и увеличивает на 10—15 % прочность полистиролбетона.

Основные характеристики полистиролбетона с плотностью 300—400 кг/м<sup>3</sup>: теплопроводность в сухом состоянии соответственно равна 0,06 и 0,07 ккал/(м·ч·°C), в при расчетной влажности (13 %)—0,08 и 0,1 ккал/(м·ч·°C). Влажностный коэффициент (приращение теплопроводности на 1 % влажности) полистиролбетона невелик и в среднем составляет 0,0025 ккал/(м·ч·°C). Сравним, такое приращение для керамзитобетона на кварцевом песке составляет 0,015, а для керамзитоголобетона — 0,009 ккал/(м·ч·°C); термическое сопротивление слоя полистиролбетона толщиной 0,15 м составляет соответственно 1,875 и 1,5 м<sup>2</sup>·ч·°C/ккал, коэффициент паропроницаемости  $\mu = 0,012$  и  $0,016 \text{ г}/(\text{м} \cdot \text{ч} \cdot \text{мм рт.ст.})$ ; коэффициент морозостойкости после 50 циклов переменного замораживания и оттаивания колеблется от 0,95 до 1,05.

Водопоглощение полистиролбетона — 18—25 % в зависимости от его плотности не превышает требуемых значений и значительно меньше водопоглощения пеноматса ПСБ-С — 100 %.

Деформационные характеристики полистиролбетона со средней плотностью 345 кг/м<sup>3</sup> при расходе материалов на 1 м<sup>3</sup> цемента 280 кг; полистирола 0,85 м<sup>3</sup> или 22 кг, воды 90 л, добавки С-3 и СДО 0,4 и 0,9 % массы цемента следующие:  $R_{28}=8,9 \text{ кг}/\text{см}^2$ ;  $R_{100}=$

8,6 кг/см<sup>2</sup>;  $E=6800 \text{ кг}/\text{см}^2$ ; усадка — 1,2 мм/м;  $R_{\text{п.п.}}=3,5 \text{ кг}/\text{см}^2$ ;  $R_{\text{раз}}=2 \text{ кг}/\text{см}^2$ .

Изучены защитные свойства полистиролбетона, содержащего золу ТЭЦ, по отношению к стальной арматуре. Центральной лабораторией коррозии НИИЖБа были сняты поляризационные кривые стали в полистиролбетоне (рис. 2), приготовленном с добавкой золы ТЭЦ ( $S_{\text{уд}}=3200 \text{ см}^2/\text{г}$ , п.п.=20 %). Образцы испытывали в исходном состоянии, через 3 и 6 мес увлажнения-высушивания. Плотность тока при напряжении 300 мВ во всех случаях не превышает 5 мкА/см<sup>2</sup>. Это означает, что сталь в полистиролбетоне с добавкой золы как в свежеприготовленном, так и в процессе испытаний в течение 3 и 6 мес остается в пассивном состоянии и предпосылок для развития коррозии арматуры не возникает.

С целью замены дефицитного и дорогостоящего известнякового щебня, применяемого в бетоне ограждающих слоев 3-слойных пакелей, более дешевым песком и золой ТЭЦ, а также для улучшения теплозащитных свойств панелей разрабатывались составы конструкционных золопесчаных бетонов марки М 200 с различной удобоукладываемостью нижнего и верхнего слоев. Для этого использовали цемент М 400 завода «Гигант», кварцевый песок с  $M_{\text{кр}}=2$  и золу гидроудаления ТЭЦ 22 ( $S_{\text{уд}}=3000 \text{ см}^2/\text{г}$ , п.п.=20 %,  $\rho_{\text{сух}}=1000 \text{ кг}/\text{м}^3$ ), а также суперпластификатор С-3.

Тепловлажностная обработка осуществлялась в лабораторной пропарочной камере по режиму: 1 — предварительная выдержка — 2, подъем температуры — 3, изотермическая выдержка при температуре 80°C — 6, охлаждение — 1.

Составы золопесчаного бетона марки М 200 подбирали методом абсолютных объемов с дальнейшей их корректировкой в производственных условиях при выпуске опытных партий изделий. Расход цемента варьировался от 300 до 400 кг/м<sup>3</sup>, золы ТЭЦ — от 130 до 300 кг/м<sup>3</sup>, количество воды назначали из условия обеспечения заданной удобоукладываемости золобетонной смеси, добавку С-3 вводили от 0,3 до 0,75 % массы цемента.

Расход материалов для получения золобетонов и основные их характеристики представлены в табл. 1. Для сравнения даны составы тяжелых бетонов марки М 200 без золы с добавкой ЛТМ-3 Красногорскенского ДСК-1, используемые для ограждающих слоев 3-слойных пакелей.

На основе анализа данных таблицы сделан вывод об эффективности применения для ограждающих слоев 3-слой-

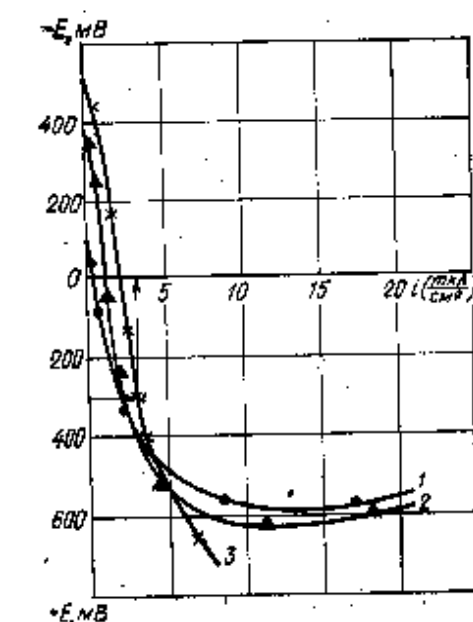


Рис. 2. Анодные поляризационные кривые стали в полистиролбетоне на золе ТЭЦ = 3200 см<sup>2</sup>/г  
1 — в исходном состоянии; 2 — через 3 мес испытаний; 3 — через 6 мес испытаний

ных наружных панелей золопесчаных бетонов марки М 200 вместо тяжелого бетона той же марки, приготовленного на известняковом щебне. При этом на 200—250 кг/м<sup>3</sup> снижается средняя плотность бетона и появляется возможность отказаться от использования в панели цементно-песчаного растворного слоя.

Составы № 1 и 2 применяют на Краснопресненском ДСК-1 в Москве.

Замена известнякового щебня песком и золой ТЭЦ позволяет снизить затраты на материалы при изготовлении панелей в среднем на 2 р. на 1 м<sup>3</sup>. С добавкой в золобетон суперпластификатора С-3 снижается расход воды на 25—30 л/м<sup>3</sup> (составы № 3 и 4) и получаются золобетонные смеси требуемой подвижности. При этом оптимальное количество добавки С-3 при высоких расходах золы (300 кг/м<sup>3</sup>) составляет 0,75%, а при небольших (125—130 кг/м<sup>3</sup>)—0,3% массы цемента.

Золобетонные смеси при сравнительно небольших значениях их осадки конуса—2—4 см и при минимальном вибровоздействии (2—6 с) имеют хорошую текучесть и не расслаиваются. Установлено, что при одинаковой удобоукладываемости (осадке конуса) растекаемость бетонных смесей с добавкой золы ТЭЦ при вибровоздействии примерно в 2 раза выше, чем у бетонных смесей без золы. Следовательно, зола ТЭЦII обеспечивает требуемую текучесть золобетонным смесям во время их укладки в форму при более низких (примерно в 2 раза) значениях осадки конуса по сравнению с бетонными смесями без золы. Это в свою очередь обусловливает набор бетоном требуемой прочности при более низком расходе цемента.

Оптимальная удобоукладываемость золопесчаного бетона для нижнего слоя панели 4—6 см осадки конуса «Строй-ЦНИИЛ», для верхнего—1,5—2 см.

На основе результатов экспериментальных работ и испытаний опытных панелей получен оптимальный состав золопесчаного бетона марки М 200, кг на 1 м<sup>3</sup>: цемент—350; песок—1400—1430; зола ТЭЦ—130—150; вода—230—260 л/м<sup>3</sup> (в зависимости от требуемой подвижности смеси); добавка С-3—0,3% массы цемента. При этом можно свести к минимуму по времени действия вибрационное уплотнение верхнего золопесчаного слоя панели—примерно до 5 с. Виброплотнение нижнего слоя длится 10—15 с.

Для случаев, когда нельзя укладывать золопесчаный бетон в нижнем слое панели—при использовании белого цемента, разработаны составы тяжелого бетона марки М 200 с добавкой 100—150 кг на 1 м<sup>3</sup> золы ТЭЦ. Это позволяет

Таблица 1

№ состава	Виды бетона в панели	OK, см	Расход материалов на 1 м <sup>3</sup> бетона, кг					$R_{\text{сух}}^*$ , кг/м <sup>3</sup>	$R_{\text{TBO}}$ , кгс/см <sup>2</sup>	$R_{28}$ , кгс/см <sup>2</sup>
			Цемент	Песок	Зола	Щебень фракции 3—10 мм	Вода, л добавки, % массы цемента			
1	Тяжелый нижний слой	16	490	1065	—	440	266 лтк—0,3	2066	135	195
2	верхний слой	2	340	755	—	1100	177 лтк—0,3	2275	203	250
3	Золопесчаный* верхний слой	3	302	1175	302	—	302 —	1825	180	225
4	нижний слой	7,5	900	1170	900	—	C-3—0,75 276	1815	190	250
5	внешний слой	4	340	1400	125	—	260 C-3—0,3	1910	145	205
6	верхний слой	2	346	1420	130	—	235 C-3—0,3	1930	161	230
7	Золопесчаный** нижний слой	8	400	1850	130	—	243 C-3—0,5	1640	157	220
8	нижний слой	8	400	1360	130	—	210 C-3—0,3	1960	198	255
9	верхний слой	4	390	1325	125	—	195 C-3—0,3	1900	160	212
10	Тяжелый (с золой ТЭЦ) верхний слой	10	280	480	120	1150	220 C-3—0,6	2070	165	220
11	нижний слой	15	375	420	100	1155	240 C-3—0,6	2105	201	270

\* зола ТЭЦ 20,  $p=800$  кг/м<sup>3</sup>; \*\*—зола ТЭЦ 22;  $p=1000$  кг/м<sup>3</sup>.

Таблица 2

Подвижность золопесчаного бетона, OK, см	Расход материалов на 1 м <sup>3</sup> бетона, кг				$R_{\text{сух}}$ , кг/м <sup>3</sup>	$R_{\text{пр}}$ , кгс/см <sup>2</sup>	$R_{\text{ваг}}$ , кгс/см <sup>2</sup>	$E \times 10^{-3}$ , кгс/см <sup>2</sup>	$K_{\text{пр}}^*$ (50 циклов)	Водопоглощ., %	Усадка, мм
	Цемент	Песок	Зола	В, л C-3, %							
8	300	1170	900	276 0,75	1815	235	200	36	185*	0,95	10,2
4	340	1480	125	260 0,3	1910	216	180	31	173*	1	9,5

\* Требуемое значение начального модуля упругости ( $E \times 10^{-3}$ ) по СНиП 2.03.01—94 равно 170 кгс/см<sup>2</sup>.

оптимизацией гранулометрического состава заполнителя снизить примерно на 50 кг расход цемента по сравнению с таковым для обычного тяжелого бетона той же марки (см. табл. 1, составы № 10, 11).

Деформационные и эксплуатационные свойства золопесчаных бетонов марки М 200 показаны в табл. 2.

Данные таблицы показывают, что составы золопесчаных бетонов марки М 200 для ограждающих слоев 3-слойных наружных панелей по эксплуатационным и деформационным показателям соответствуют требованиям норма-

тивных документов и имеют более низкую теплопроводность  $\lambda_w=8\%$  = 1 ккал/(м·ч·°С) в отличие от 1,75—1,6 ккал/(м·ч·°С) у тяжелого бетона.

Тепловлажностная обработка золопесчаных бетонов должна проводиться при температуре изотермической выдержки не менее 80°C продолжительностью не менее 10 ч, так как при более коротких режимах требуемая прочность бетона обеспечивается лишь через 12 ч после окончания такой.

Опытные 3-слойные панели наружных стек с ограждающим слоем из золопесчаного бетона и с теплоизоляцион-

ным слоем из полистиролбетона были выпущены на Комбинате железобетонных конструкций № 2 ПСО «Мосстрой».

Изделия изготавливали в формах, используемых для выпуска однослойных панелей толщиной 34 см. При этом расчетный объем золопесчаного бетона был равен 1,04 м<sup>3</sup>, а полистиролбетона — 0,8 м<sup>3</sup>. Толщина наружного ограждающего слоя золопесчаного бетона составила 110 мм, внутреннего ограждающего — 80 мм, полистиролбетона — 150 мм. Армирование было обычное, принятое для однослойных панелей.

Удобоукладываемость (OK) для нижнего слоя золопесчаной смеси составляла 4,5 см, верхнего — 3 см, полистиролбетонной смеси — 2 см.

Полистиролбетонную смесь приготавливали в бетономешалках СМ-290 в течение 4–5 мин. Смесь к укладчикам подавали конвейером. Нижний слой после

укладки виброуплотняли 15 с, верхний — укладывали практически без вибрации и заглаживали валом. Теплокозоляционный слой из полистиролбетона виброуплотняли не более 10 с.

Опытные панели после 3-часовой выдержки пропаривали в ямной камере по обычному режиму: 3 ч — подъем температуры, 6 ч — изотермическая выдержка при 80°C, 1 ч — охлаждение.

Нижний слой золопесчаного бетона имеет прочность 198 кгс/см<sup>2</sup>, верхний — 158 кгс/см<sup>2</sup>, а полистиролбетон — 10 кгс/см<sup>2</sup> при средней плотности 380 кг/м<sup>3</sup>.

Прочностные показатели золопесчаного бетона в опытной панели позволяют снизить расход цемента до 350 кг на 1 м<sup>3</sup>. Материал имеет плотную слитную структуру. Выход полистирола на торцы панелей не наблюдался. Отслоение отделочной керамической плитки и око-

лов бетона не зафиксировано.

Теплотехнический расчет опытной 3-слойной наружной панели с теплозоляционным полистиролбетоном и отдельных узлов сопряжения конструкции показал, что приведенное сопротивление теплопередаче панели  $R_{\text{пр}}^{\circ}$  равно 1,9 м<sup>2</sup>·ч·°C/ккал (для  $\rho_{\text{вс}} = 300 \text{ кг}/\text{м}^3$ ) и 1,7 м<sup>2</sup>·ч·°C/ккал (для  $\rho_{\text{вс}} = 400 \text{ кг}/\text{м}^3$ ). Следовательно, коэффициент приведения  $r$  для опытной панели колеблется от 0,86 до 0,93, что говорит о высокой теплотехнической однородности конструкции.

Экономический эффект изготовления 3-слойных стековых панелей с теплоизоляционным слоем из полистиролбетона и с ограждающими слоями из золопесчаного бетона по сравнению с производством 3-слойных панелей со слоем полистирольного пенопласта составляет более 3 р. на 1 м<sup>2</sup> изделия.

УДК 691.144.002.237

В. Н. БОЛОТОВА, инж., Т. В. ГЕРАСИМОВА, инж.,  
М. Г. ВЕДЕХИНА, инж. (ВНИИстройполимер), Л. С. ТАБОЛИНА, канд. техн. наук,  
В. А. ФЕДОСОВА, инж. (Ленинградский технологический институт им. Ленсовета),  
В. И. САВКО, инж. (Осиповичский картонно-рубероидный завод)

## Влияние полиэтиленовых восков на свойства битумов и рубероида

Общеизвестно, что полимербитумные композиции — это физические смеси (растворы или дисперсии). Отсутствие химического взаимодействия между макромолекулами полимера и компонентами битума обуславливает их долговечность, так как они химически мало активны.

Авторы исследовали возможность использования полиэтиленовых (ПЭ) восков с битумами в качестве покровной массы в производстве рубероида. Из литературных данных [1, 2, 3] известно, что полимербитумные составы могут быть не стабильны, особенно в горячем состоянии и при интенсивном перемешивании.

Опытным путем выяснено влияние степени окисленности битумов на их совместимость с полиэтиленовыми восками. Основные свойства покровных составов рубероида с неокисленными и окисленными полиэтиленовыми восками приведены в табл. 1.

Как видно из таблицы, максимальный скачок температуры размягчения наблю-

дается при увеличении концентрации полиэтиленового воска от 7 до 10% для битумов с температурой размягчения 41 и 48°C и от 5 до 7% для битумов с температурой размягчения 56°C. Пenetрация составов при этом достигает максимального значения, но остается достаточно высокой для получения пластичного покровного слоя рубероида. Значит, минуя процесс окисления пропиточного битума или сокращая его, можно получать покровные составы для рубероида.

Дальнейшее увеличение содержания ПЭ воска в битуме нарушает равновесие между этими компонентами, что приводит к расслоению покровного состава. Процесс расслоения может наблюдаться также, если смешение битума с ПЭ воском происходит при температуре выше 190°C в течение более 3 ч.

Введение ПЭ воска в битум, окисленный до температуры размягчения 92°C, в количестве 1–3% (по массе) не оказывает влияния на степень окисленности смеси, но приводит к ее расслоению в

случае использования неокисленного ПЭ воска.

Таким образом, для получения покровных составов кровельных материалов (полностью или частично исключая процесс окисления пропиточного битума) было выбрано оптимальное количество ПЭ воска, окисленного и неокисленного — 7–10% битума. Смешение его с битумом осуществлялось в течение 15–30 мин при температуре 180°C. Выпуск промышленных образцов материала с битумно-полиэтиленовым покровным составом (воском) осуществлен на Осиповичском картонно-рубероидном заводе. Основные показатели качества материала приведены в табл. 2.

Показатели качества свидетельствуют, что полученный материал характеризуется высокой эластичностью по сравнению с традиционными марками рубероида (ГОСТ 10923–83 Рубероид). Испытание на старение под воздействием искусственных климатических факторов, по предварительным данным, показало,

Таблица 1

Температура размягчения, °С	Содержание ПЭ в воске, %	Свойства воска		Повышение температуры размягчения, °С
		Температура плавления, °С	Непрерывн., 0,1 мк	
<b>Неокисленный полистиленовый воск</b>				
41	0	41	146	—
	5	58	81	16
	7	67	84	26
	10	89	51	46
48	0	48	80	—
	5	58	84	10
	7	69	45	21
	10	91	42	43
58	0	58	45	—
	5	71	28	15
	7	91	39	35
	10	98	36	46 (расходное)
92	0	92	15	—
	1	88	14	—4 (расходное)
	3	99	12	—7 (расходное)
<b>Окисленный полистиленовый воск</b>				
41	0	41	146	—
	5	58	173	17
	7	61	180	20
	10	63	172	22
92	0	92	16	—
	1	92	14	0
	3	93	13	1
	10	93	17	1
	20	100	17	8

Таблица 2

Материал, состав, производитель материала	Результаты испытаний с ПВ воском	
	неокислен-ый	окислен-ый
Битум с температурой размягчения 39°C. Плавится — 186 ед.	—	—
Битум + заполнитель + 7% ПВ воска температура размягчения, °С	94	75
пекотермика, ед.	56	26
Рубероид масса покровного состава, г/м <sup>2</sup>	1186	1306
вспрывное уечение, кг/с	32	33
температура устойчивость в течение 2 ч при температуре, °С	70	70
потери массы, % водонепроницаемость, кг/см <sup>2</sup>	0,1 0,5	0,1 0,5
гибкость на брусе с радиусом закругления, — 15 мм при температуре (ГОСТ 10922-83), °С	25	25
10 мм при температуре, °С	0	0

что кровельный материал с битумно-полиэтиленовым слоем (воском) в течение 10–12 лет не разрушается.

#### СПИСОК ЛИТЕРАТУРЫ

- Цедек Ж. Техника совместимости битумов с полимерами. Итальянское Mischwerk. 1979. № 5.
- Энциклопедия полимеров в 3-х томах. М.: Советская энциклопедия. 1972. А–Я.
- Сирота А. Г. Модификация структуры и свойства поливинилфторидов. Л.: Химия. 1974.

## Стандартизация продукции

УДК 658.816.679.8+891.21

В. В. ТИШЕНКО, инж. (Госстрой СССР), М. Л. НИСНЕВИЧ, д-р техн. наук, Н. С. ЛЕВКОВА, канд. техн. наук (ВНИИИ Истрамсырье)

### Международная стандартизация в промышленности нерудных строительных материалов и облицовочных материалов из природного камня

За последние годы значительно вырос объем работ по международной стандартизации в промышленности нерудных строительных материалов и облицовочных материалов из природного камня. Работы проводятся в рамках СЭВ и ИСО (международной организации по стандартизации). Они обеспечивают:

унификацию технических норм и требований к продукции, особенно для ее видов, являющихся предметом международной торговли;

повышение качества, технического уровня и конкурентоспособности продукции;

создание условий для разработки и внедрения прогрессивных технологических процессов и оборудования; совершенствование методов контроля продукции.

Планомерная работа по созданию стандартов СЭВ обеспечивается разработанными и утвержденными в 1980 г. комплексом документов 3.1 «Материалы нерудные строительные, заполнители плотные и пористые, облицовочные и дорожные материалы и изделия из природного камня». Он включает в себя номенклатуру объектов стандартизации, базовую номенклатуру норм и требований и перечень наименований документов, которые должны создать нормативное обеспечение рассматриваемых подотраслей.

Номенклатура объектов стандартизации охватывает 21 вид продукции, в том числе по семи видов плотных и пористых заполнителей, семи видов облицовочных и дорожных изделий из природного камня. Базовая номенклатура норм и требований включает в себя 15 показателей качества, применяемых для оценки различных видов продукции. Перечень наименований документов состоит из перечня стандартов трех ступеней: классификации, метода испытаний и технических условий.

В соответствии с указанным комплексом к настоящему времени разработаны и утверждены шесть стандартов СЭВ и ведется работа по созданию четырех новых, в области нерудных строительных материалов — это стандарты на класси-

фикацию заполнителей и методы их контроля.

Утвержден СТ СЭВ 5445—85 «Материалы строительные нерудные и заполнители плотные и пористые. Классификация, термины и определения», включающий в себя классификацию материалов по плотности, происхождению, зерновому составу и форме зерен. Стандарт также устанавливает термины и определения нерудных строительных материалов, включая плотные заполнители, пористые природные и искусственные.

Разработаны и утверждены стандарты на методы испытаний: СТ СЭВ 5446—85 «Материалы строительные нерудные и заполнители плотные и пористые. Общие требования к методам отбора и подготовки проб», СТ СЭВ 5976—87 «Материалы строительные нерудные, заполнители плотные и пористые. Методы определения прочности», СТ СЭВ 6317—88 «Материалы строительные нерудные, заполнители плотные и пористые. Методы определения зернового состава».

Рассмотрены на четвертом заседании Рабочей группы по строительству Постоянной комиссии СЭВ по сотрудничеству в области стандартизации в ноябре 1989 г. и подготовлены к утверждению проекты стандартов СЭВ на методы определения плотности, а также содержания пылевидных и глинистых частиц.

В области стандартизации облицовочных материалов из природного камня первоочередной задачей принята разработка стандартов на блоки и плиты из природного камня, являющиеся предметами экспорта ряда стран — членов СЭВ.

Разработаны и утверждены СТ СЭВ 6315—88 «Блоки из природного камня для производства облицовочных изделий. Технические условия» и СТ СЭВ 6316—88 «Плиты облицовочные пилевые из природного камня. Технические условия». Кроме того, в стадии разработки находятся два стандарта на определение видающих показателей качества: определение предела прочности горной породы на растяжение при изгибе и истираемости горной породы.

Утвержденные и разрабатываемые в настоящее время стандарты СЭВ отражают современные требования к качеству продукции и методам ее контроля, принятые странами-членами СЭВ и международными организациями по стандартизации.

Следует отметить, что советская сторона является автором утвержденных и четырех разрабатываемых стандартов, а в разработке остальных документов принимает активное участие в качестве соисполнителя.

Утвержденные стандарты признаны большей частью странами-членами СЭВ. Все перечисленные стандарты СЭВ являются в государственных стандартах СССР.

Наша страна принимает активное участие в деятельности Рабочей группы I «Заполнители для бетона» Подкомитета З «Производство и контроль бетона», Технического комитета 71 ИСО «Бетон, железобетон и предварительно напряженный железобетон». Госстрой СССР ведет секретариат рабочей группы. Членами ее являются представители Венгрии, Польши, Чехословакии, Югославии,

Австрии, Англии и др.

Советскими специалистами подготовлены проекты 16 международных стандартов. К их числу относятся: основополагающий документ, определяющий требования к качеству заполнителей ИСО/ТК 71/ПК 3/РГ 1 № 154 «Заполнители природные для бетона. Общие технические требования» и ряд стандартов на методы испытаний нерудных строительных материалов. Среди последних методы определения содержания пылевидных и глинистых частиц просеиванием и пипеточным методом, содержания глины в комках просеиванием и петрографической разборкой, формы зерен, прочности горной породы, истрачиваемости щебня и гравия в полочном барабане, коэффициенты дробимости при скатии в цилиндре, морозостойкости и др.

Обсуждение проектов на заседаниях Рабочей группы позволило учесть опыт наиболее развитых стран в области производства и контроля качества нерудных строительных материалов и подготовить к утверждению ряд основных документов.

На 9-м заседании ИСО/ТК 71/ПК 3/РГ 1 было признано целесообразным вести координацию работ по стандартизации, выполняемых ИСО, СЭВ и СЕИ (международная организация по стандартизации, разрабатывающая региональные стандарты для стран ЕЭС); в рамках СЕИ создан Технический комитет 154 по заполнителям для бетона.

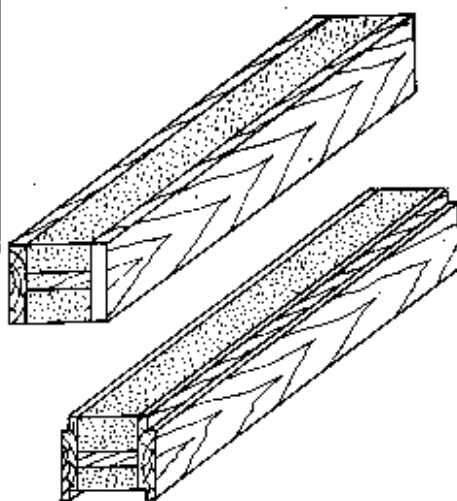
В развитие этого решения было проведено совместное заседание ИСО/ТК 71/ПК 3/РГ 1 и СЕИ/ТК 154/ПК 6 в г. Осло в мае 1989 г., где была подтверждена необходимость сотрудничества в области обмена информацией, документами по требованиям к качеству заполнителей и методам их испытаний и осуществления контроля между секретариями рабочих групп.

Участие советских специалистов в работе над проектами международных стандартов позволило повысить качество разработки государственных стандартов СССР на заполнители для бетона и методы их испытаний и обеспечить их соответствие мировому уровню по основным показателям.

## ИЩЕМ ПАРНЕРОВ

Б. А. ГОВЫРИН, канд. техн. наук (Балабановское отделение Гипролеспрома)

### СТЕНОВОЙ КОМБИНИРОВАННЫЙ БРУС С ЭФФЕКТИВНЫМ УТЕПЛИТЕЛЕМ



Стеновой комбинированный брус с эффективным утеплителем

Специалистами Балабановского отделения ВНПО «Союзнаучстандартдом» разработана конструкция стекового комбинированного бруса. Новый материал был показан на IV Международной выставке «Лесдревмаш-89» и вызвал большой интерес. Особенно перспективным он становится при расширении масштабов индивидуального жилищного строительства, развития коллективного садоводства и при все возрастающем дефиците древесины крупных сечений.

Комбинированный брус состоит из наружной и внутренней обкладок, изготовленных из строганных с одной стороны пиломатериалов и соединенных между собой в жесткий несущий каркас, полость которого заполнена эффективным конструкционным утеплителем, представляющим собой вспененный полимер, наполненный мягкими отходами деревообработки. Такая конструкция позволяет снизить расход и, следовательно, стоимость утеплителя, а также решить проблему утилизации древесных отходов. Расчетная себестоимость изготовления комбинированного бруса — 47—50 р. за 1 м<sup>3</sup>.

При толщине бруса в 150 мм материал хорошо сохраняет комнатную температуру при наружной температуре воздуха минус 40°C, нетоксичен, отличается пониженной древесиноемкостью. Однако его серийный выпуск сдерживает отсутствие высокопроизводительного оборудования.

Быстрое решение задачи по созданию современного деревообрабатывающего оборудования возможно только при активном и заинтересованном участии конструкторских организаций и станкостроительных предприятий. Научное отделение ВНПО «Союзнаучстандартдом» готово рассмотреть деловые предложения партнеров и организовать работы по созданию оборудования.

**НАШ АДРЕС: 249000, г. БАЛАБАНОВО  
КАЛУЖСКОЙ ОБЛ., ПЛ. 50 ЛЕТ ОКТЯБРЯ, 3, ТЕЛ. 226-47.**

# Из опыта эксплуатации оборудования

УДК 622.74+621.928.2

Г. Г. СТАРЧЕНКО, инж. (ПО «Уралнеруд» ТСО Средуралстрой  
Минуралсибстроя РСФСР)

## Новая конструкция конических гидравлических грохотов

Старейшее на Среднем Урале производственное объединение «Уралнеруд» является основным поставщиком цементных строительных материалов для заводов железобетонных изделий и строительных организаций Свердловской области. Объединение ежегодно вырабатывает более 2880 тыс. м<sup>3</sup> песка, песчано-гравийной смеси и материалов из отсевов дробления скальных горных пород.

На трех гидромеханизированных карьерах, выпускающих 1500 тыс. м<sup>3</sup> этих материалов, добывающие работы ведутся шестью плавучими земснарядами 350-60 Л с землесосами 20 Р-11М производительностью 4000 м<sup>3</sup>/ч и одним земснарядом ЗГМ-360-1А с землесосом 16 Р-9 производительностью 1900 м<sup>3</sup>/ч.

Добываемая земснарядами пульпа с соотношением Т/Ж=1/20-40 подается на обогатительные установки, где из смеси выделяются гравий и комовая глина, а также иллюстоглинистые примеси. Каждый земснаряд работает в комплексе со своей обогатительной установкой.

В настоящее время на Махневском и Каменск-Уральском карьерах, где добываемая горная масса содержит соответственно до 27 и 18% гравия, иллюстоглинистых примесей до 6%, в состав обогатительных установок входят: конический гидравлический грохот, вибрационные грохоты, струйные воронки, спиральные классификаторы, виброобезвоживатели и штабелевуладчики (рис. 1). На Пышминском карьере, где содержание комовой глины в гравии крупностью более 5 мм не превышает 8%, иллюстоглинистых примесей содержится до 10%, обогащение песков осуществляется на конических гидравлических грохатах и картах немытья (рис. 2).

Как показал многолетний опыт работы этих гидромеханизированных карьеров, одним из важнейших процессов обогащения является отделение гравия и комовой глины. Этот процесс осуществляется в особо тяжелых режимах. Неравномерные, пульсирующие ударные нагрузки больших масс грунта, содержащего крупный гравий и камни разме-

зовки. Под ударным воздействием больших масс грунта (3-3,5 тыс. м<sup>3</sup> исходной горной массы) эти сита быстро выходили из строя и вызывали длительные простой обогатительных установок и земснарядов.

Для удлинения сроков службы контрольных сит и снижения технологических простоев оборудования на вибрационные сита установили дополнительные земснарядные разгрузочные плетенные сита с более крупной ячейкой из проволоки большего диаметра, а также износостойкие сита собственного изготовления (плетенные из стружинной проволоки и сварные из поставленной на ребро профилевированной стальной полосы сечением 20×4 мм). Они принимали на себя весь грунт и основную ударную нагрузку, пропуская на нижние контрольные сита массу, не содержащую крупного гравия, комовой глины и камней. Это уменьшило на 20-80% износ контрольных сит и несколько сократило простой.

В связи с этим при обогащении песка для предварительного отделения камней, крупного гравия и комовой глины установили конические гидравлические грохоты КГГ-400, каждый из которых (рис. 3, а) состоит из корпуса цилиндрико-конической формы с патрубком для подвода пульпы (в, цилиндрической части) и двумя патрубками (в конической части) — один для отвода гравийной фракции, а другой — для отвода песчаной.

Просекающая поверхность грохота (решетка) выполнена из листов стальных пластин клиновидной формы, толщиной 30-40 мм (рис. 3, б), образующих коническую поверхность. Каждая пластина закреплена вершиной клина в раструбе патрубка, отводящего гравий, а основанием опирается на два регулировочных болта и прижимается к ним сверху фиксирующим болтом. На пластинках на определенном расстоянии расположены просенывающие отверстия в виде щелей прямоугольного сечения.

Повышение износостойкости контрольных сит также позволило снизить про-

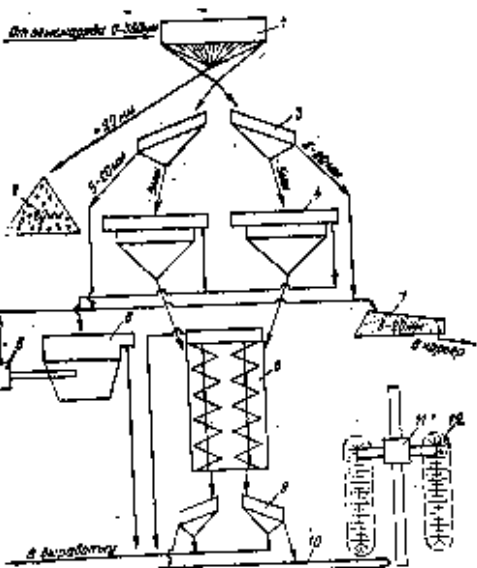


Рис. 1. Принципиальная схема обогащения песка на Махневском и Каменск-Уральском карьерах:  
1 — конический грохот; 2 — склад крупного материала; 3 — вибрационный грохот; 4 — конусная струйная воронка; 5 — центробежный насос; 6 — зумпф; 7 — склад гравия фракции 5-20 мм; 8 — двухспиральный классификатор; 9 — виброобезвоживатель; 10 — ленточный конвейер; 11 — штабелевуладчик; 12 — склад обогащенного песка

ром в ребре до 350 мм, вызывают интенсивный износ просекающих поверхностей.

Особенно наглядно это наблюдалось при отделении гравия и комовой глины на вибрационных грохатах с плетенными контрольными ситами на стальной про-

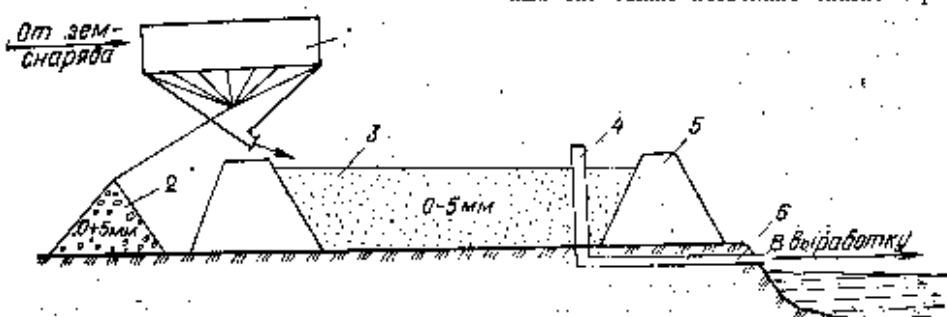


Рис. 2. Принципиальная схема обогащения песка на Пышминском карьере:  
1 — конический гидравлический грохот; 2 — склад гравия крупностью более 5 мм; 3 — карта немытья песка; 4 — шандорфский колодец для сброса воды; 5 — постоянное обваловывание карты немытья песка; 6 — сбросной коллектор

стия обогатительных установок и земснарядов (через них прошло без ремонта 12–15 тыс. м<sup>3</sup> горной массы).

Однако в при эксплуатации КГГ-400 выявлялись существенные недостатки, в том числе сечение в свету решетки (около 32% от общей площади) ограничивает производительность грохота, форма просеивающих отверстий не соответствует траектории движения потока пульпы, что снижает точность разделения фракций по заданному зерну. Ванное смешивание фракций достигает 11–13%; резьбовые соединения регулировочных и фиксирующих болтов (150 шт.) под воздействием водно-песчаной среды быстро выходят из строя и теряют работоспособность; большое количество разбиваемых соединений обуславливает высокую трудоемкость монтажа и демонтажа просеивающей поверхности.

В связи с этим работники объединения разработали новую, лишенную отмеченных недостатков конструкцию конического гидравлического грохота.

Существенным отличием нового конического гидравлического грохота является то, что его просеивающая поверхность (рис. 3, а) состоит из колосников, выполненных из металлических стержней прямоугольного сечения в виде петель, навешиваемых на вертикальные стержни, закрепленные на заднем расстоянии по большей окружности конической части корпуса, и образующих наклонные щели, сужающиеся от большего основания конуса к меньшему.

При этом диаметр вертикальных стержней, ширина внутренней полости петли в верхней части и расстояние между петлями в верхней части равны между собою и определяются исходя из размера заданного граничного зерна разделяемых фракций по эмпирическому соотношению:

$$B = (3 - 3,5) a,$$

где  $B$  — диаметр стержня, мм;  $a$  — размер граничного зерна, мм.

Ширина щелей у меньшего основания конуса равняется размеру заданного граничного зерна рассева.

Грохот работает следующим образом. Исходная гидросмесь через подводящий патрубок земснарядом подается на внутреннюю поверхность цилиндрической части корпуса. Благодаря тангенциальному подводу поток приобретает вращательное движение, и под воздействием силы тяжести по спирали перемещается вниз в направлении конического решета. На решете под действием центробежной силы и собственной массы нижние слои потока устремляются в просеивающие щели и вместе с песком уходят в подрешетное пространство.

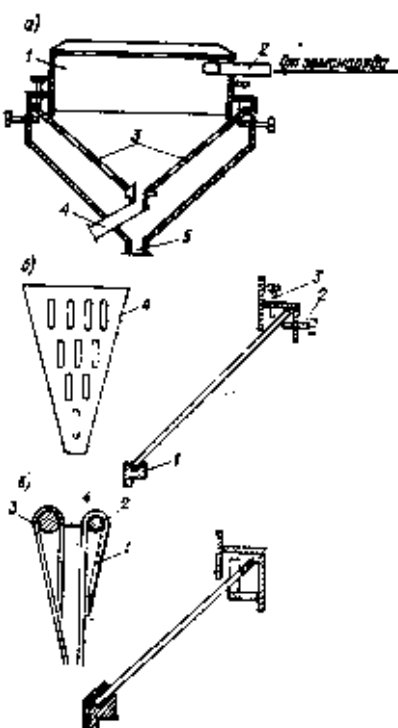


Рис. 3. Схема устройства конического гидравлического грохота КГГ-400  
а — общий вид; 1 — корпус; 2 — подводящий патрубок; 3 — просеивающая поверхность; 4 — патрубок для отвода крупной фракции; 5 — элемент решетки; 6 — раструб; 7 — трубка для отвода крупной фракции; 8 — фиксирующие болты; 9 — регулировочный болт; 10 — колосник; 11 — вертикальный стержень; 12 — внутренняя полость петли; 13 — зазор между колосниками

Крупные зерна, не прошедшие в щели, вместе с задержавшимися в их массе незначительным количеством мелких час-

тиц и воды, проходя движение по поверхности решетки, быстро теряют скорость, и направление их движения постепенно приближается к прямолинейному вдоль щелей. Поскольку щели сужаются в направлении от большего основания решетки к меньшему, сквозь них проходит только вода и мелкие твердые частицы, т. е. происходит обезвоживание крупного продукта и очистка его от задержавшихся мелких частиц. Продолжая движение, крупный и мелкий продукты уходят каждый в свой патрубок.

Такое исполнение просеивающей решетки позволяет увеличить сечение в свету с 32 до 50% и повысить точность разделения песчано-гравийной смеси на две фракции по заданному зерну (которы зерки мельче граничного в задрешетной материале не превышают 10%). Оно предельно упростило монтаж и демонтаж просеивающей решетки и снижено до минимума их трудоемкость.

Немаловажным достоинством решетки является также предельная простота ее изготовления и монтажа. Комплект элементов колосниковой решетки может быть изготовлен из серийно выпускаемых металлических стержней сечением 36×18 мм на любом заводе, монтаж их заключается в навешивании петель на вертикальные стержни.

Конические гидравлические грохоты новой конструкции эксплуатируются на карьерах ПО «Уралноруд» с 1983 г. Они хорошо себя зарекомендовали, работают надежно и устойчиво.

## ИЩЕМ ПАРТНЕРОВ

**ПРЕДПРИЯТИЯ ПО ПРОИЗВОДСТВУ КЕРАМИЧЕСКОГО КИРПИЧА И КЕРАМЗИТОВОГО ГРАВИЯ ТПКО «ТЮМЕНЬСТРОЙМАТЕРИАЛЫ» ИСПОЛЬЗУЮТ СЫРЬЕ, СИЛЬНО ЗАСОРЕННОЕ ВКЛЮЧЕНИЯМИ СИДЕРИТА, ИМЕЮЩИМИ РАЗМЕРЫ ПО ДЛИНЕ И В ДИАМЕТРЕ 350 ММ.**

**ТПКО «ТЮМЕНЬСТРОЙМАТЕРИАЛЫ» ГОТОВО ЗАКЛЮЧИТЬ ДОГОВОР И ПРОФИНАНСИРОВАТЬ РАБОТЫ ПО РЕШЕНИЮ ПРОБЛЕМЫ УДАЛЕНИЯ ИЗ СЫРЬЯ КАМЕННИСТЫХ ВКЛЮЧЕНИЙ НЕПОСРЕДСТВЕННО В КАРЬЕРЕ ИЛИ ДО ПОСТУПЛЕНИЯ ЕГО НА ПЕРЕРАБОТКУ В ГЛИНОПЕРЕРАБАТЫВАЮЩЕЕ ОБОРУДОВАНИЕ НА ЗАВОДЕ.**

**С предложениями обращаться по адресу:  
625010, Тюмень, ул. Минская, 96,  
ТПКО «Тюменьстройматериалы».  
Тел: 26-83-03, главному инженеру.**

# Совершенствование механизма хозяйствования

УДК 69.024.15.002.334.720

## Картоноделательные и рубероидные производства в новых условиях хозяйствования

На Учалинском картонно-рубероидном заводе (Башкирская АССР) состоялась школа передовых методов труда, рассматривавшая вопросы, связанные с внедрением хозяйственного расчета на предприятиях по производству рулонных кровельных и полимерных материалов. Широкий обмен опытом был организован производственниками (ПО) «Кровля и полимеры», Межзаводским учебным комбинатом и Учалинским картонно-рубероидным заводом объединения Министерства промышленности строительных материалов РСФСР.

В школе участвовали рабочие — передовики производства, мастера, начальники смеси и цехов картоноделательных и рубероидных производств ПО «Кровля и полимеры», специалисты рязанской проектно-конструкторской и технологической организации (РПКО) «Оргкровля», а также представители родственных предприятий союзных республик.

В центре внимания участников школы был обмен опытом работы в условиях перехода предприятий на полный хозяйственный расчет.

Учалинский картонно-рубероидный завод (выступает его директор Р. А. Худайбердин) является одним из первых предприятий отрасли, где впервые с 1987 г. внедрена государственная приемка продукции, организована работа в новых условиях хозяйствования. Этот год для коллектива предприятия оказался очень трудным: почти по всем показателям план не был выполнен, что отразилось на финансовом состоянии завода.

Был допущен перерасход материальных, теплотехнических ресурсов. За невыполнение плана поставки уплачено 500 тыс. р. за перерасход материальных ресурсов — 258,5 тыс. р. в счет штрафных санкций. К началу 1988 г. завод пришел без фонда материального поощрения, с недостатком собственных оборотных средств. Не состоялся, как планировалось, переход в 4-м квартале 1987 г. на новую систему оплаты труда. Он был осуществлен поэтапно в 1988 г. Этот год завод отработал по первой модели хозрасчета.

Показатели работы начного улучшились, хотя запланированный объем производства мягкой кровли не был достигнут, планы поставки и прибыли не были выполнены. Предприятие начало искать эффективный механизм хозяйствования.

Рассматривались различные пути самостоятельной хозяйственной деятельности: кооперативная и арендная формы. Однако из-за разногласий с вышестоящей организацией не было найдено приемлемого двухстороннего решения.

В последнее время на заводе ведутся работы по модернизации технологий и оборудования, обновлению ассортимента продукции. В этом году планируется выпуск нового кровельного материала типа «Рубемаст». В стадии реконструкции находятся две технологические линии для изготовления наплавляемого рубероида (выпуск намечен в этом же году). Предусмотрено построить цех по получению мастики БЛЭМ-20.

В тридцатой пятилетке планируется выпуск линолеума. В настоящее время заканчивается проект очистных сооружений, строительство которых будет начато в 1991 г.

Сегодня на заводе разработано положение о применении чеков, определены внутризаводские цены на материалы и услуги. Однако пока чековая система не нашла практического применения.

С введением новой системы оплаты труда начали внедрять коллективный подряд. Инициатива и заинтересованность исходила «снизу» — от рабочих. Начали с небольших вспомогательных цехов и коллективов. Сейчас из коллективной подряде работают шесть цехов, а также вспомогательные подразделения, службы вентиляции и отопления, очистные сооружения, ремонтно-строительный и ремонтно-механический цехи, битумно-окислительная установка.

При функционировании новой системы принято — подрядным коллективам устанавливается годовые и месячные плановые задания. Взаимоотношения сторон регламентируются договором, разработаны положения по коллективному подряду. Норматив фонда заработной пла-

ты рассчитан на 1 р. нормативно-чистой продукции с увеличением на 15% при условии, если не было по их вине простое рубероидного и картоноделательного цехов и если выполнил свой план. Этот норматив увеличивается на 30%, если, кроме церемониальных условий, выполнен план по нормативно-чистой продукции.

По битумно-окислительной установке норматив фонда заработной платы рассчитан на получение 1 т окисленного нефтебитума. Фонд оплаты труда (ФОТ) этого подразделения увеличивается до 40%, если выдержана технология, обеспечена подача битума под производственные задания, соблюдены требования по качеству сточных вод.

Таким образом, ФОТ большинства вспомогательных коллективов зависит от того, как выполняют план рубероидный и картоноделательный межи, т. е. от конечного результата.

С внедрением коллективного подряда резко снизилась текучесть кадров. Инженерно-технические работники, освобожденные от нарядов, могут заниматься вопросами организации производства.

Если раньше в ремонтно-механическом и ремонтно-строительном цехах в конце месяца создавалось очень тяжелое (аварийное) положение, то сейчас — один наряд в месяц. Праработка, т. е. зарплата сверх тарифного фонда, распределяется по коэффициенту трулого участия (КТУ).

Опыт работы на коллективной подряде показал, что было бы целесообразно начальнику цеха иметь реальное заработную плату: случается завод работает нестабильно, зарплата колеблется («скачет»), может возникнуть необходимость в срочной работе, незапланированная потребность в финансировании.

В настоящее время на заводе разрабатываются положения и нормативы по внедрению арендного подряда в рубероидном цехе.

Из анализа результатов работы цехов, перешедших на коллективный подряд, следует, что искореняется привычный в работе формализм. Так, подрядчики мыслим без доведения плана до кол-

лектива, без оперативного внутрязаводского планирования, без права распоряжаться частью экономии фонда заработной платы, без «подтягивания» отстающих.

Перед коллективом завода стоит задача перехода на арендный подряд — следующий этап реализации хозяйственной самостоятельности.

На Омском картонно-рубероидном заводе переход на новые условия хозяйствования начался с 1986 г., когда в картоноделательном цехе были созданы укрупненные комплексные бригады, в которые входят рабочие и инженерно-технические работники смены. Руководящий орган бригады — совет, состоящий из 7 передовых, наиболее квалифицированных работников. С 1988 г. управление в бригадах передано совету труда-вого коллектива смены. Бригадой руководит старший мастер — бригадир. Машинист и старший размольщик рольного отделения являются звеньевыми и помощниками мастера.

В конце месяца на заседании трудового коллектива оценивается вклад каждого члена бригады в выполнение государственного плана по коэффициенту трудового участия. КТУ снимается с нарушителей трудовой дисциплины, техники безопасности, технологического режима производства, с бракоделов, не выполняющих норму выработки. КТУ увеличивается за высокие показатели в труде, расширение зон обслуживания.

Результат работы бригады определяется по коэффициенту коллективного труда (ККТ).

С 1987 г. в картоноделательном цехе действует положение о премировании, по которому основной процент премии выплачивается за качественные показатели выпускаемой продукции, соблюдение технологического режима, экономию сырья и энергетических ресурсов, высокие культуры производства, трудовую дисциплину.

На ККТ, в следствительно, и на процент премии, влияет работа без брака. За каждую 1000 м<sup>3</sup> бракованного картона ККТ снижается на 0,01.

С 1988 г. этот цех и завод в целом работают по принципу хозрасчета. Как и раньше, в лицевых счетах учитывается расход сырья, энергоресурсов. Первые месяцы работы в новых условиях хозяйствования сэкономленные деньги в конце квартала по решению СТК цехов распределялись между бригадами в зависимости от трудового вклада. У рабочих появилась заинтересованность в бережном отношении к сырью, энергетическим ресурсам, запасным частям и др.

В прошлом году в цехе и на заводе

сложилась неблагоприятная обстановка с сырьем, особенно с макулатурой и тальком. Дополнительные затраты на их приобретение, просток повлияли на прибыль, поэтому реального материального улучшения работы в условиях хозрасчета пока не видно. Все виды расхода и прихода материальных ресурсов в цехе также строго учитываются, но сэкономленные средства идут уже не на нужды цеха, а перечисляются в общий «котел» — на завод или же в министерство, поэтому снижается личная заинтересованность в строгом учете сырья, других материальных ресурсов, в контроле за их расходованием.

Коллектив Хабаровского картонно-рубероидного завода во 2-м полугодии 1988 г. перешел на организацию работы по второй модели хозрасчета. С начала 1988 г. — на аренду. Другого пути для предприятия не было. Установленный ранее низкий норматив прироста фонда заработной платы — 0,4% на 1% прироста нормативно-чистой продукции тормозил рост ее объема; чем больше он увеличивался, тем больше становился перерасход фонда заработной платы. Это не стимулировало работу.

Хозяйственная деятельность арендного предприятия осуществляется на базе модифицированной 2-й модели хозрасчета, основанной на распределении дохода предприятия, полученного после возмещения из выручки материальных затрат (включая амортизационные отчисления и др.)

Система хозрасчетных отношений при аренде направлена на создание экономических условий, позволяющих сблизить интересы коллективов вспомогательных подразделений, цехов и завода в целом по улучшению использования оборудования, выявление резервов производства, снижение материальных затрат, привлечению трудящихся к управлению производством, к дальнейшему развитию принципов самоуправления и демократии.

В 1981 г. на Павлодарском картонно-рубероидном заводе была создана первая бригада, работающая на коллективном подряде на самом тяжелом участке — погрузочно-разгрузочных работ. Через три года бригадный подряд был внедрен во всех цехах. С этого же года бригады стали работать на один ярд с оплатой за конечный результат. Годом позже в цехах стал внедряться хозрасчет. Тогда же были разработаны системы лимитирования затрат и еженедельного их учета. К 1987 г. система стала давать эффект. Прибыль росла. Значительно снизились затраты, особенно материальные.

С середины года завод был переведен

на оплату труда по новым тарифным ставкам и окладам, чему предшествовала большая подготовительная работа: была закончена аттестация рабочих мест: состоялись перетарификация рабочих, аттестация специалистов и служащих, проинвентаризация численность персонала во всех цехах и службах завода; проведен анализ использования фонда заработной платы с целью выявления незаслуженных выплат и надбавок. Эти мероприятия позволили высвободить в основных цехах 48 чел., которые частично были направлены на формирование строительного цеха и подсобного хозяйства. С целью повышения тарифных ставок за счет внутренних резервов было изыскано 181 тыс. р.

Период перехода на новые тарифные ставки и оклады был использован для изменения системы оплаты труда и премирования. Фонд оплаты труда стал планироваться цехам как самостоятельный показатель, зависящий только от деятельности их коллективов. Это заставило изыскивать внутрицеховые резервы для повышения производительности труда, заработной платы. В результате за три года двенадцатой пятилетки производительность труда выросла на 19,2% при плане 15%, средняя зарплата — на 11,2%.

С конца 1988 г. на заводе стала прорабатываться идея перехода на арендный подряд. В виде эксперимента с 1 декабря на 1 мес все цехи завода перешли на арендный подряд. Одновременно была внедрена чековая система междуцеховых расчетов. Этот месяц работы выявил ряд «узких мест» в производстве, в частности, отсутствовали приборы учета затрат, сырья, энергоресурсов и т. д. Возникла проблема — это использование дохода от экономии материальных ресурсов, получаемой в результате работы коллективов цехов. Действующие нормативы позволяют только 40% созданной экономии направлять в хозрасчетный доход. А для стимулирования труда и эти 40% не могут быть использованы, так как существует еще один ограничительный норматив — соотношение темпов роста производительности труда и средней заработной платы. Для предприятия, которое в течение десяти лет повышает свой технический уровень, в основном за счет внутренних резервов и почти полностью используемых, очень легко повышать производительность труда. А без этого коллектива не может увеличивать зарплату. Следовательно, экономия материальных затрат без увеличения объема производства, иногда и ненужного, уже не может быть стимулом труда работников завода.

Арендный подряд предусматривает

полную самостоятельность предприятия. Однако вышеупомянутая организация контролирует большое число факторов, в результате чего самоуправление завода и его самостоятельность значительно ограничены.

Арендный подряд цехов основан на договоре между администрацией завода и коллективом цеха. Коллектив цеха берет в аренду основные фонды. Ему устанавливается план производства, исходя из плана поставок, арендная плата, которая включает все отчисления в бюджет вышеупомянутой организации, на содержание общезаводских расходов, оплату фондов и трудовых ресурсов.

Расплатившись за материальные затраты и внеся обязательные платежи, коллектив цеха формирует свой хозрасчетный доход, который направляет частью на оплату труда, частью в резерв на решение социальных вопросов.

Арендная форма, хозрасчетные отношения вполне отвечают требованиям современного хозяйствования, если бы не нормативы, которые просто мешают раскрытию всех возможностей, инициативы, деловитости. К проблеме полного хозрасчета относится также материально-техническое снабжение. Завод из-за неритмичной поставки сырья, материалов лихорадит. Работа цехов, особенно основных и транспортно-заготовительных, останавливается. В результате теряется смысл борьбы за экономию материальных ресурсов, дискредитируется идея полного хозрасчета.

Павлодарский картонно-рубероидный завод на полном хозрасчете работает по первой модели с января 1987 г. Позитивным моментом этой модели явилось то, что коллектив завода мог создать фонд социального развития и самостоятельно его использовать для строительства жилья и других социальных объектов. В решении социальных вопросов помогает созданный в 1988 г. совет трудовых коллективов. На заводе развернулась кампания по вовлечению своих работников в строительство жилья, создание зоны отдыха, благоустройство территории завода.

Однако активизация трудящихся для самоуправления производством, заводом возможна только во взаимосвязи и со справедливым стимулированием труда, и с объективным подходом к реальным возможностям завода, и с полным хозрасчетом.

Полностью реализовать потенциальные возможности предприятий для повышения эффективности производства в условиях хозрасчета можно только на основе постоянного технического совершенствования технологического процесса. С учетом важного значения разви-

тия научно-технического прогресса в отрасли в РПКТО «Оргкровля» (г. Рязань) за последнее время разработаны, изготовлены и внедрены на заводах новое технологическое оборудование, в частности по изготовлению долговечных кровельных материалов, системы автоматики.

Так, на Учалинском, Хабаровском, Рязанском, Осинниковском картонно-рубероидных заводах, Ульяновском заводе мягких кровельных материалов и др. реконструированы технологические процессы по приготовлению и напышению покровной массы рубероида. Это позволяет выпускать напыляемый рубероид (с покровной массой до 2 кг на 1 м<sup>2</sup>) с повышенным содержанием наполнителя (до 30%). Достигнуто это путем замены традиционных (винтовых) мешалок новых — планетарными типа РМК 481 и установки универсальной покровной ванны типа РМК 455, вместо старой.

По проекту, разработанному РПКТО «Оргкровля» к технологическому регламенту для производства нового морозостойкого кровельного материала «Экарбита», Хабаровский картонно-рубероидный завод при участии Белгородского технологического института строительных материалов им. И. А. Гришишманова организовал выпуск этого материала для районов Крайнего Севера.

С целью учета использования сырья и теплово-энергетических ресурсов, контроля за рациональным его расходованием, а также для обеспечения оптимальных режимов технологических процессов создаются новые системы автоматики. За основу элементной базы принята микропроцессорная техника (микросхемы).

Использование подобной техники в системах автоматики позволяет создать новые информационно-управляющие установки, с помощью которых можно будет автоматически контролировать и регулировать степень пропитки картона в пропиточной ванне, привес покровной массы на полотне рубероида после покровной ванны (снизу и сверху полотна — раздельно), влажность и массу кровельного картона на выходе из картоноделательной машины.

Одновременно решаются задачи сопряжения систем автоматики по контролю за технологическими параметрами и регулированию процессов, связанных с первичной переработкой сырья. Это — взвешивание, транспортирование, автоматическое управление насосами, аккумулирование (контроль за уровнем в бассейнах), дозирование — смешивание (составление композиции), контроль с регулированием концентрации картонной

массы в бассейнах и в напорном щите картоноделательной машины.

Системы автоматики предусматривает введение на битумно-ожилительной установке для контроля температуры, давления, расхода и др., а также на складе готовой продукции для учета рулонов, автоматизации пакетировщиков и др.

В самой же Проектно-конструкторской и технологической организации ведутся сейчас проектно-изыскательские и организационные работы по внедрению автоматизированной системы проектирования — САПР, что позволит уйти от ручной малопроизводительной работы, поставить ее на современный научно-технический уровень.

Хозяйственный расчет все настойчивее входит в экономическую жизнь предприятий промышленности кровельных и гидроизоляционных материалов и от того, насколько полно он будет реализован, зависит, обретут ли экономическую самостоятельность эти предприятия, поднимутся ли на новый технический уровень картоноделательные и рубероидные производства, будут ли заинтересованы работники, обслуживающие их, в выпуске кровельных материалов требуемого объема, высокого качества.

Л. Т. ХОРОВ, инж. (РПКТО «Оргкровля»),

Н. П. ЗОТОВ, директор Рязанского межзаводского учебного комбината ПО «Кровля и полимеры»

## Вышли из печати

**Арендный подряд и кооперативная форма производства на предприятиях строительных материалов / Б. И. Креков, М. А. Бочаров, В. В. Могилевцев, И. Н. Гольцов. — М.: Стройиздат, 1988. — 48 с. — (Курсам ускорения науч.-техн. прогресса).**

**Алексин Ю. А., Люсов А. Н. Экономическая эффективность использования вторичных ресурсов в производстве строительных материалов. — М.: Стройиздат, 1988. — 344 с.**

Н. С. ПОСЫСАЕВ, инж. (Всесоюзный научный центр по организации труда Госкомтруда СССР)

## Хозрасчет с применением чеков

Буйковский экспериментальный завод по производству деталей домов для села с переходом на арендный подряд добился повышения производительности труда и внедрения ресурсосберегающей технологии и новых эффективных видов оборудования и приспособлений, позволяющих увеличить производство керамической и тротуарной плитки, значительно снизить их себестоимость. Во всех подразделениях предприятия созданы инициативные группы инженеров, для каждой из которых определено конкретное задание по автоматизации и механизации производственных процессов. Наиболее результативно работают группы, в которые входят конструкторы и слесари.

Предприятие выполняет договорные обязательства. Производительность труда увеличилась на 7,7%. Успех работы коллектива, обусловлен улучшением организации производства и труда, внедрением внутризаводской аренды, экономии материальных ресурсов.

Отрегулирован механизм стимулирования уменьшения материальных затрат. Да 40% средств остается в цехе и расходуется на материальное стимулирование, оставальные 60% пополняют общезаводские фонды социально-экономического развития. Способствуют укреплению внутрипроизводственной аренды предприятия по контролю за качеством продукции, строящийся учет израсходованных ресурсов. В цехах и на участках установлены дозаторы, счетчики, внедряются новые технологии.

Единый фонд оплаты труда распределяется на предприятия с участием всех членов трудового коллектива на основе внутризаводских положений о распределении фонда оплаты труда с учетом отраслевой специфики, профессионально-квалификационной структуры кадров, целей и задач материального стимулирования работников подразделений.

На Буйковском экспериментальном заводе, одном из первых в промышленности строительных материалов, внедрен внутрипроизводственный хозрасчет с целью заинтересовать всех членов трудового коллектива в выполнении плановых заданий и договорных обязательств

перед потребителем, в широком использовании достижений научно-технического прогресса в производстве, обновлении ассортимента продукции и повышении ее качества, увеличении производительности труда, эффективном использовании производственных фондов. Хозрасчет предполагает ответственность трудового коллектива за результат его работы. Новый хозяйственный механизм способствует развитию инициативы у каждого работника по выявлению и эффективному использованию внутренних резервов, повышению эффективности производства.

В основе внутризаводского хозрасчета лежит принцип сочетания централизованного руководства со стороны администрации предприятия в целом с хозяйственной самостоятельностью каждого структурного подразделения. Данный принцип реализуется с помощью чеков, которые служат средством для лимитирования внутри завода материальных ценностей, электроэнергии, транспортных средств, ремонтных работ, услуг вспомогательных цехов, amortизации оборудования и инструмента, других расходов, производимых в счет себестоимости продукции, для контроля за ними и их оплаты.

На внутрипроизводственный хозрасчет с применением расчетных чеков на заводе переведены все цеха, а также пароводяное хозяйство и газовая служба. Это предусматривает: закрепление за хозрасчетными подразделениями зданий, сооружений, оборудования, транспортных средств, хозяйственного инвентаря и т. д.

ответственность за выполнение плановых заданий, обязательства перед другими подразделениями, за конечные результаты хозрасчетной деятельности; регулирование последней путем морального и материального поощрения членов коллектива.

Чекодержателями являются руководители хозрасчетных подразделений (в заводоуправлении — бухгалтер). Они получают от администрации завода план производства, лимит на материальные затраты и чековую книжку для осуществления расчетов за получаемые ма-

териальные ценности и услуги. Чековая книжка выдается бухгалтерией (за 1—2 дня до начала месяца).

Каждое подразделение получает на месяц плановое задание в натуральных и стоимостных показателях и лимит материальных затрат для его выполнения. В лимит затрат входит: амортизационные отчисления на полное восстановление и капитальный ремонт основных средств производства; электрическая и тепловая энергия, газ, мазут, основные и вспомогательные материалы, запасные части; машины и быстроизнашающиеся приспособления и предметы — инструмент, спедодежда, инвентарь, услуги других цехов и сторонних организаций.

Лимит затрат указывается на оборотной стороне титульного листа чековой книжки. Затраты могут быть скорректированы в случае изменения плана по выпуску продукции, условий производства. Или появление непредвиденных расходов. Все подобные изменения отражаются в чековой книжке. Это делает начальник планового отдела либо экономист, ведающий вопросами себестоимости продукции.

Разность между стоимостью выпущенной в плановом порядке продукции или работ и услуг и стоимостью лимитированных материальных затрат определяет валовой доход цеха.

Как учитывается выполнение плановых заданий? В производственных цехах № 1 и 2 — согласно подаваемому ежедневно в плановый отдел рапорту о сдане готовой продукции и акту сдачи приемки последней.

Работы, выполненные строительным цехом, учитываются по сдаваемому ежемесячно в отдел капитального строительства отчету, утвержденному заместителем директора завода по строительству, а остальными хозрасчетными подразделениями по чекам. Коллектив гаража, кроме чеков, отчитывается объемом услуг, оказываемых населению. Их объем в денежном выражении подсчитывается по квитаниям, оформленным с клиентами. Услуги, оказанные сторонним организациям, фиксируются в товарно-транспортных накладных, сданных в бухгалтерию.

Производственные затраты определяются по корешкам выписанных чеков в чековой книжке.

Чеки, полученные хозрасчетными структурными подразделениями, сдаются в бухгалтерию вместе с отчетом об оказанных услугах не позднее четвертого числа месяца, следующего за отчетным. Само подразделение проводит анализ своей деятельности за истекший месяц; составляется отчет на основании полученных чеков, корешков чековой книжки и других документов.

Каждое структурное подразделение за невыполнение обязательств перед другими подразделениями или заводом в целом, за причиненный ущерб несет материальную ответственность. Хозрасчетная претензия предъявляется тем или иным подразделением (другому, смежному); если по отношению к нему допущено нарушение обязательств, либо причинен ущерб, составляется по определенной форме (один экземпляр документа вручается ответчику под расписку, второй остается у предъявителя). Подразделение-ответчик обязано рассмотреть претензию в пятидневный срок и — либо принять ее, либо заявить мотивированный отказ полностью или частично.

При удовлетворении претензии ответчик выписывает предъявителю таковой чек. В случае, если претензия не будет удовлетворена, третий экземпляр документа с подписью ответчика об отказе передается подразделению-заявителю в хозрасчетную комиссию для рассмотрения и принятия решения в пятидневный срок. Решение хозрасчетной комиссии является окончательным. Если же подразделение-ответчик в течение 5 дней не выдаст чек на сумму, заявленную в претензии, и не мотивирует отказ, претензия считается удовлетворенной, а подразделение-ответчик подвергается штрафу за невыдачу чека в установленный срок.

Сумму удовлетворенной претензии относят на статью затрат по производству подразделения-ответчика, аналогичная статья затрат у подразделений-предъявителя уменьшается.

Хозрасчетная комиссия даже при удовлетворении претензии без спора имеет право оштрафовать подразделение-ответчика на 20% суммы претензии.

Анализ и оценка результатов работы завода в целом и структурных подразделений за истекший месяц проводится в последующий десятидневный срок функциональными службами, ответственными за элементы статьи затрат, например, за amortизацию оборудования, электроэнергию, топливо, материалы, инвентарь и др. Результаты такого ана-

лиза, выводы, предложения по ликвидации недостатков передаются в хозрасчетную комиссию. Она в свою очередь ежемесячно рассматривает хозрасчетные претензии, принимает по ним окончательные решения и вносит предложения совету трудового коллектива завода о поощрении или наказании руководителей структурных подразделений.

Советы трудового коллектива завода и структурных подразделений регулярно обсуждают итоги работы хозрасчетных подразделений, намечают меры по повышению эффективности производства и в соответствии с результатами хозрасчетной деятельности определяют коэффициент трудового участия членов коллектива.

Чековая система лимитирования затрат и контроля за ними на производстве действует также в Даугавпилсском территориальном общестроительном тресте Латвийской ССР.

Такая система позволяет оперативно регулировать и контролировать использование средств по объектам строительства и статьям расхода, своевременно предотвращать их перерасход.

Организационная сторона этого дела такова: Бухгалтерия строительного управления выдает материально ответственному лицу до начала квартала пять чековых книжек на лимит ресурсов, виды услуг. В книжке указывается лимит производственных затрат на строительный объект по установленной статье. Чек на производственные затраты и корешки к нему оформляет материально ответственное лицо только при наличии свободного лимита. Стоимость материальных ценностей определяется по единому планово-расчетным ценам. Суммы отклонений фактической стоимости материальных ценностей от планово-расчетных цен ежемесячно списываются на затраты производства.

Для правильного оформления документов работники основных подразделений получают прейскурант на оплату услуг автотранспорта в зависимости от классов груза, грузоподъемности и расстояния перевозок, а также класса дорог. В договор с автотранспортными организациями включается пункт, по которому от водителей принимаются накладные и другие документы, подтверждающие объем выполненных услуг при наличии расчетного чека организации-заказчика. Трест оплачивает эти документы только при наличии чека.

Для контроля за снижением и как стимул устранения непроизводительных затрат (лимит по ним не устанавливается) вводятся чеки серии «Н». Они выписываются бухгалтерией управления на каждый случай уплаты штрафа — за

нечтожеменный возврат тары, непредставление фронта работ, за простой автотранспорта или неправильное оформление накладных, за другие улучшения бригад.

Чековая система способствует улучшению организации трудового процесса, укреплению производственной и трудовой дисциплины, регулированию взаимоотношений между подразделениями и между предприятием в целом и подразделениями. Чековая система используется в сельском хозяйстве. В строительстве в условиях колхозного и арендного подряда, как например, в Даугавпилсе, ее развили, конкретизировали.

## ВНИМАНИЮ РУКОВОДИТЕЛЕЙ ПРЕДПРИЯТИЙ, ПРЕДСЕДАТЕЛЕЙ КООПЕРАТИВОВ

Институтом УралНИИстромпроект Минстройматериалов РСФСР в течение ряда лет проводились работы по реконструкции кольцевых печей с заменой арочных сводов на плоские съемные. В 1981 г. это техническое решение было внедрено в ПО «Свердловскстройматериалы».

Реконструкция кольцевых печей предусматривает: устройство шатра над кольцевой печью, установку грузоподъемного механизма, замену арочного свода кольцевой печи на плоское съемное покрытие, механизацию укладки кирпича в пакеты, садку и выставку пакетов кирпича, отправку потребителю на поддонах или в контейнерах.

В результате реконструкции повышается съем продукции с 1 м<sup>3</sup> канала с 1800 до 2000 шт. в мес., стоимость реконструкции 450—500 тыс. р.

Институт предоставит заинтересованным организациям техническую документацию.

Адрес для запросов:  
454080, Челябинск, пр. им.  
В. И. Ленина, 89,  
УралНИИстромпроект.

# Результаты научных исследований

УДК 621.892.2

В. И. ШУБИН, д-р техн. наук, В. В. СМАЗНОВ, инж.,  
В. А. КУЛАБУХОВ, канд. техн. наук, Ю. Ф. ХНЫКИН, канд. техн. наук (НИИЦемент)

## Исследование инициирующего влияния низкотемпературной плазмы на процессы горения угольно-известняковых шихт

Развитие макроэнергетики предусматривает структурные изменения в топливно-энергетическом балансе, основанные на замене высококачественного топлива (природный газ, нефть и нефтепродукты) менее дефицитными (уголь, сланцы, топливосодержащие отходы и т. д.). По прогнозам специалистов к 2000 г. доля угля возрастет с 20 до 36,5% при одновременном снижении доли нефти и нефтепродуктов с 50,3 до 25,9% и газа — с 19,9 до 18,9% в мировом энергетическом балансе [1].

Изменения в значительной степени касаются и цементной промышленности, где при получении клинкера зола, образующаяся в результате сжигания твердого топлива, по своему химическому составу соответствует, в большинстве случаев, алюмосиликатному компоненту цементной сырьевой шихты [2]. В этой связи представляется перспективным применение низкосортных высокозольных углей, сланцев, топливосодержащих отходов, например, золошлаковых отходов ТЭС, содержание нестореавшего угля в которых может достигать 20% [3], в качестве топлива в одновременно одного из компонентов сырьевой шихты.

Известно, что повышение зольности и снижение величины выхода летучих горючих твердого топлива отрицательно сказывается на процессе его горения [4]. Обеспечение воспламенения, полноты сгорания и управления процессом горения такого топлива возможно при использовании инициатора горения, который может являться низкотемпературной плазмой.

Результаты начатых в последнее время работ по изучению влияния электродугового плазменного нагрева на процессы горения шахтного факела в топках из известково-цементообжигательных вращающихся печах показали инициирующее воздействие низкотемпературной плазмы на воспламенение и

горение топлива даже при незначительных количествах плазменной энергии (до 8% общего количества выделившегося тепла).

Как высокотемпературный источник тепловой энергии низкотемпературная плазма позволяет, по-видимому, обеспечить необходимые температурные условия для синтеза клинкера вяжущего, либо активной добавки в цемент или бетон при термообработке топливосодержащих сырьевых шихт как в существующих энергетических, так и во вполне разрабатываемых комплексных энергетико-технологических агрегатах (паровых котлах, топках, установках с плавильными аппаратами и т. д.).

В пользу этого предположения свидетельствуют положительные результаты применения плазменного нагрева для получения плавленого клинкера и активного наполнителя бетона на основе сырья, содержащего отходы углеобогащения с калорийностью не менее 800 кДж/кг [5]. Однако к настоящему времени появился лишь единичные работы давной направленности, а результаты их подчас противоречивы. Вопросы же воздействия низкотемпературной плазмы на процессы горения топливно-известняковых шихт практически не освещены.

Целью настоящей работы явилось исследование влияния низкотемпературной плазмы на режимы горения угольно-известняковых шихт и изучение особенностей термообработки таких смесей при инициирующем воздействии низкотемпературной плазмы. В качестве твердого топлива использовали уголь Подмосковного месторождения с теплотворной способностью  $Q_p = 17,2 - 18,8 \text{ МДж/кг}$ , влажностью  $\Phi = 6,13\%$  и зольностью  $A_r = 48 \pm 0,12\%$ . Химический состав золы угля и известняка, использованного в качестве карбонатного компонента, % по массе: зола угля —  $\text{SiO}_2 = 66,18$ ;

$\text{Al}_2\text{O}_3 = 21,41$ ;  $\text{Fe}_2\text{O}_3 = 7,48$ ;  $\text{CaO} = 2,25$ ;  $\text{MgO} = 0,54$ ;  $\text{SO}_3 = 0,41$ ; проч. — 1,79; п. п. п. — 52; известняк —  $\text{SiO}_2 = 8$ ;  $\text{Al}_2\text{O}_3 = 2,09$ ;  $\text{Fe}_2\text{O}_3 = 0,96$ ;  $\text{CaO} = 48,28$ ;  $\text{MgO} = 1,46$ ;  $\text{SO}_3 = 0,15$ ; проч. — 0,28; п. п. п. — 38,83. Дисперсность угля, отобранного в системе пылепреработки ТЭЦ перед топкой котла, характеризовалась суммарными остатками на ситах с отверстиями 0,5; 0,25 и 0,085 мм, равными 1,1; 4,8 и 33,8% соответственно, и известняка — остатками на ситах с отверстиями 0,5 и 0,2 мм, равными 1 и 2,5% соответственно. Из этих компонентов были приготовлены угольно-известняковые шихты с различным содержанием угля, % по массе: 100; 57,6 и 21,4% — (0; 42,4 и 78,6% известняка соответственно).

Эксперименты проводили на установке с реактором типа цилиндрической циклонной топки с внутренним диаметром 150 мм, аналогичной описанной в [6], но оснащенной дополнительно патрубком для тангentialного ввода потока низкотемпературной плазмы и угольно-известняковой шихты, расположенным в верхней части реактора, и патрубком ввода вторичного воздуха. Конденсированную фазу (золовый остаток) улавливали в пробоотборнике. Конденсированную улавливали в пробоотборниках, расположенных на относительном расстоянии  $(1/4)$  от начала пылевого факела 5 и 9. На внутренней поверхности головной камеры на расстоянии 0,8; 1,7 и 12 калибров от начала факела и в пробоотборниках были установлены термометры.

Установка имела электродуговой воздушный плазмотрон мощностью 60 кВт, обеспечивающий подогрев воздуха в количестве 6—10  $\text{м}^3/\text{ч}$  при давлении на входе 0,3—0,35 МПа до температуры 3000—4500 К на выходе из плазмотрона. Расход угольно-известняковой шихты составлял 20—90 кг/ч.

Параметры установки позволяли из-

менять в широком диапазоне тепловую мощность  $Q_x$  реактора-топки (34—503 кВт), обеспечивающую удельное теплонапряжение  $q_x$  в рабочем объеме топки в пределах 1,4—21,2 МВт/м<sup>3</sup>, в том числе 4,6—21,2 МВт/м<sup>3</sup> — для чистого угля, 2,9—12,8 МВт/м<sup>3</sup> — для шихты с 57,6% углем и 1,4—5,7 МВт/м<sup>3</sup> — для шихты с 21,4% углем. Рекомендуемые же предельно допустимые значения  $q_x$  при сжигании бурых углей в топках котлов с жидким шлакоудалением составляют: 1,15 МВт/м<sup>3</sup> для камерных топок и 1,7—7,1 МВт/м<sup>3</sup> для циклонных [4].

Перед вводом шихты в реактор его предварительно подогревали до определенной температуры  $T_{st}$  и после ввода шихты и установления стабильного режима горения факела включали плазмотрон. Во второй серии экспериментов плазмотрон работал постоянно, а шихту вводили в реактор порциями по 600—1200 г. Поскольку температура материала в пробоотборниках составляла 573—673 К, т. е. выше, чем температура воспламенения бурых углей [7], контрольные пробы отбирали в воду для того, чтобы прекратить процесс горения оставшегося в зоне несгоревшего угля. Количество вводимой плазменной энергии оценивали волях от общего количества выделившейся теплоты ( $Q^{pl}/Q_x \times 100\%$ ).

Влияние низкотемпературной плазмы на процессы горения угольно-известняковых шихт оценивали по изменению температурного режима горения факела, полноте сгорания угля и характеристикам минеральной части золы.

Для сравнительной оценки изменения температурного режима горения шихт с различным содержанием угля применяли параметр относительного изменения температуры внутренней стенки топки

$$\frac{\Delta T}{T_0} = \frac{T_f - T_0}{T_0} \cdot 100\%,$$

где  $T_f$  — температура стенки при вводе низкотемпературной плазмы,  $T_0$  — температура стенки при горении шихты без инициирования плазмой в случае, если температура подогрева реактора ниже температуры горения, или начальная температура стенок, если она превышает температуру воспламенения и горения шихты.

По изменению температуры стенки топки можно судить о температуре неизмененного горящего факела и о характере тепловыделения в топке. Учитывая, что указанные параметры зависят от расхода топлива [4], предварительно были сняты температурные характеристики горения шихт с содержанием 100 и 57,6% угля по длине факела

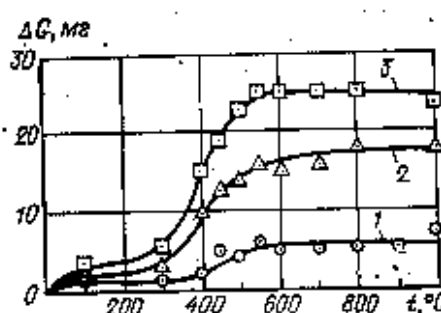


Рис. 1. Изменение массы проб углесодержащих сырьевых шихт относительно безугольной смеси при их нагревании в воздухе: 1 — шихта с содержанием угля 1%; 2 — то же, 3%; 3 — то же, 5%

в зависимости от расхода без использования плазменной энергии и аналогичные кривые при чисто плазменном нагреве реактора. Температура стенки при горении чистого угля составила 973—923 К в точке замера  $l/d=1,7$  и 903—953 К в точке  $l/d=12$ , а при сжигании шихты с 57,6% угля — 983—943 К и 703—803 К соответственно. Стабильного горения шихты с 21,4% угля не наблюдалось при предварительном подогреве стенок топки вплоть до  $T_{st} = 1483$  К.

Результаты дифференциального термического и деривационного анализа проб, полученных при нагревании на воздухе шихт с добавлением различного количества исследуемого угля и без него, показали, что выгорание органической составляющей угля происходит в интервале температур 523—823 К. Анализ деривационных кривых показал, что при нагревании шихт выше 823 К до 1273 К площади эндотермических эффектов декарбонизации  $MgCO_3$  и  $CaCO_3$  пропорциональны содержанию в смесях указанных карбонатов. Это свидетельствует об отсутствии скрытых экзотермических эффектов горения угольной составляющей в указанном температурном интервале.

Изменения массы материалов исследуемых проб оказались эквивалентными количествам содержащегося в них угля, т. е. в интервале температур до 823 К потери при прокаливании составляют 50% от количества содержащегося в них угля, что хорошо согласуется с величиной его зольности (рис. 1). Поэтому в качестве критерия оценки содержания несгоревшего угля в пробах была принята относительная величина

$$\frac{G_f}{G_0} \cdot 100\%,$$

где  $G_f$  и  $G_0$  — содержание угля в пробах, определяемых по величине п.п. при температуре 823 К по общепринятой методике (до достижения постоянной массы пробы), полученных после сжигания и исходной шихты соответственно.

Степень термообработки минеральной составляющей зольного остатка проб оценивалась по степени декарбонизации  $\beta$ , определяемой по величине п.п. при температурах 1223—1273 К (за вычетом п.п. при температуре 823 К), содержанию  $CaO$  св. и результатам рентгеновского анализа исследуемых проб.

Полнота сгорания летучих компонентов угля контролировалась по содержанию CO в отходящих газах. В процессе пусконаладочных работ на установке было определено количество воздуха, необходимое для дожигания летучих горючих составляющих угля исследуемых шихт во всем диапазоне изменения расхода, которое обеспечило отсутствие CO в отходящих газах в точке замера  $l/d = 12$  по длине факела в ходе экспериментов. Коэффициент избытка воздуха при этом составлял  $\alpha = 1,05—1,6$  в зависимости от состава и расхода шихты, доли плазменной энергии, начальной температуры подогрева реактора в конкретном эксперименте.

Результаты исследований подтвердили инициирующее воздействие низкотемпературной плазмы на горение пылеугольного факела с точки зрения изменения температурного режима, что выражается в повышении температуры на начальном участке горения (рис. 2). Максимальное повышение температуры наблюдается в сечении  $l/d = 1,7$  и составляет 10—45% при увеличении доли плазменной энергии с 3 до 15,7%.

Наряду с этим, снижение температуры отходящих газов в точке замера  $l/d = 12$  при доле плазменной энергии  $\Delta T/T_0$  до 5% (отрицательные значения  $\Delta T/T_0$ ) свидетельствует об укорочении факела и интенсификации процесса горения. Повышение температуры в конце факела при увеличении доли плазмы выше 5—

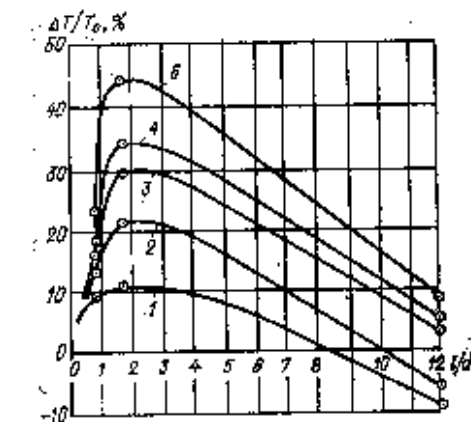


Рис. 2. Изменение относительной температуры на стволе реактора-топки  $\Delta T/T_0$  по длине факела в зависимости от доли плазменной энергии  $Q^{pl}/Q_x \times 100\%$ : 1 — 3%; 2 — 4,95%; 3 — 7,5%; 4 — 9,95%; 5 — 15,7%

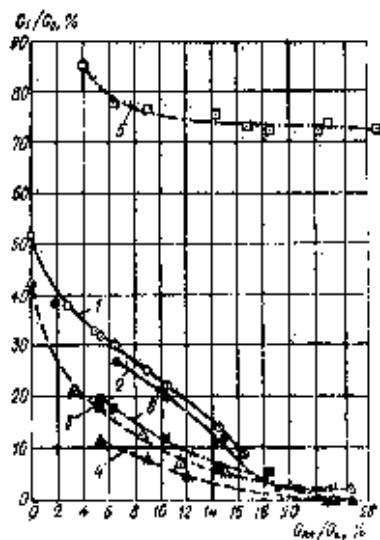


Рис. 3. Изменение относительного содержания угля в золовых остатках при сжигании шихты на длине факела  $l/d=9$  в зависимости от доли плазменной энергии:  
1 — содержание угля 100% при  $T_{\text{ст}} = 693-773$  K;  
2 — то же, 100% при  $713-773$  K; 3 — то же, 67,6%; 4 — то же, 67,6%; 5 — то же, 21,4%; 6 — то же, 21,4% при  $1403-1483$  K.

6% вызвано, по-видимому, нагреванием отходящих газов за счет тепловой энергии плазменной струи.

Наличие известняка в шихте не изменяет общий характер распределения температур по длине факела, но приводит к меньшим значениям по сравнению с горением чистого угля, относительного увеличения температуры в ядре факела. Так, при сжигании шихты с 57,6% угля увеличение параметра  $\frac{\Delta T}{T_0}$  в точке замера  $l/d=1,7$  составляет 30%, а для шихты с 21,4% угля — 18—20% при доле плазменной энергии 15,7%. Это вызвано как меньшим количеством топлива в шихте, так и затратами тепла на декарбонизацию известнякового компонента.

Изменение относительного содержания угля в золовых остатках при сжигании исследуемых шихт на длине факела  $l/d=9$  в зависимости от доли плазменной энергии показано на рис. 3. Графики свидетельствуют об эффективности влияния плазменного нагрева на кинетику горения угольно-известняковых шихт. Так, при сжигании чистого угля увеличение доли плазменной энергии до 6—6% приводит к снижению относительного содержания угля в золе в 1,6 раза, а при доле плазмы 16—17% — в 6,6 раза (кривая 1). В случае сжигания шихты с 56,7% угля аналогичные соотношения составляют 2,6 и 9,4 раза при тех же количествах низкотемпературной плазмы (кривая 3).

Однако достичь полного горания при сжигании чистого угля не удается, несмотря на увеличение доли плазменной энергии до 24% и повышение темпера-

туры предварительного нагрева стенки топки с температуры 693—773 K до температуры 1433—1498 K (кривые 1 и 2), обеспечивающее возрастание указанной температуры при горении с 1123—1223 K до 1563—1728 K. Это вызвано, по-видимому, известным эффектом замедления скорости горения высокозольных углей при превышении температуры плавления золы вследствие поверхностного шлакования частиц угля [4]. Отсутствие угля в золе наблюдается при сжигании угольно-известняковых шихт при увеличении доли плазменной энергии до 21—23% (кривые 4, 6).

Наименьшее количество несгоревшего угля в пробах наблюдается при горении шихты с 57,6% угля (42,2% известняка — кривые 3 и 4). Отмеченное явление дает основание предположить, что при сжигании угольно-известняковых шихт на основе высокозольных углей существует некоторое оптимальное содержание известняка в шихте, обеспечивающее интенсификацию процесса горения в рассматриваемых условиях.

Наиболее наглядно это видно на рис. 4, где показан характер изменения отношения содержания угля в пробах, полученных без применения плазменного нагрева к аналогичному показателю при использовании низкотемпературной

плазмы  $\frac{G_{\text{ст}}}{G_{\text{пл}}} \cdot 100\%$  в зависимости от количества известняка в шихте и доли вводимой плазменной энергии. Принятый показатель, косвенно характеризует скорость горения при прочих сопоставимых условиях.

Анализ кривых показывает, что оптимальным с точки зрения интенсификации процесса горения подмосковных углей является содержание известняка в шихте, равное 30—50%, когда скорость

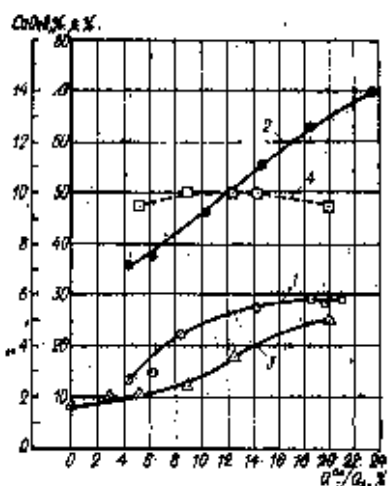


Рис. 5. Зависимость степени декарбонизации  $\beta$  (1-3), %, и содержания CaO в смеси от доли плазменной энергии  $k$  на относительной длине факела  $l/d=9$ :  
1 — шихта с содержанием 21,4% угля при  $T_{\text{ст}} = 693-773$  K; 2 — то же, с 21,4% углем при  $713-773$  K; 3 — то же, с 57,6% углем при  $1403-1483$  K; 4 — то же, с 57,6% угля при  $713-773$  K; 5 — то же, с 57,6% угля при  $713-773$  K.

горения при доле вводимой плазменной энергии, приближающейся к 10—15%, может возрасти в 2—2,2 раза по сравнению с чистым углем и в 3,8—5,9 раза по сравнению с шихтой, содержащей 76—80% известняка (кривые 3 и 4).

Выявленный эффект инцинирующего воздействия известняка при его столь значительном содержании в шихте на кинетику горения угля при наличии низкотемпературной плазмы является, по-видимому, следствием воздействия целой совокупности факторов. Одним из них является, на наш взгляд, процесс декарбонизация известнякового компонента шихты, который вследствие высоких температур носит взрывной характер, что способствует окислению смесеобразования топлива и окислителя и диффузионной области горения.

Сопоставляя характер изменения степени декарбонизации минеральной части золового остатка при сжигании шихты с 21,4% угля (рис. 5) с изменением относительного содержания угля в пробах для данной шихты (рис. 3) и учитывая, что кривые 1 и 2 (рис. 5) соответствуют кривым 5 и 6 (рис. 3), можно проследить отчетливо выраженную взаимосвязь между степенью декарбонизации известнякового компонента шихты и содержанием в ней несгоревшего угля.

Выделяющийся в процессе декарбонизации  $\text{CO}_2$ , с одной стороны, отрицательно влияющий на процесс горения частицы угля, может, с другой стороны, являться источником возникновения активных окислительных реагентов —  $\text{CO}$  и  $\text{O}_2$ , образующихся вследствие диссоциации углекислого газа при высоких тем-

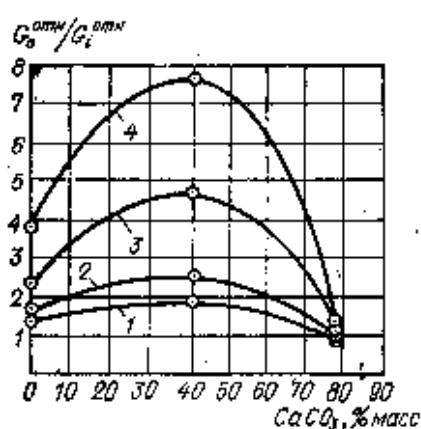


Рис. 4. Характер изменения относительного содержания угля в золовом остатке в зависимости от доли плазменной энергии и содержания известняка в шихте,  $\text{CaCO}_3 \cdot \text{mass}$ :  
1 — 3%; 2 — 5%; 3 — 10%; 4 — 15%.

пературах. Кроме того, процесс декарбонизации, требующий значительных затрат тепла, влечет за собой некоторое локальное снижение температуры в ядре факела, способствуя предотвращению интенсивного поверхностного шлакования частиц угля.

С повышением температуры горения при сопоставимом содержании геленита отмечено снижение содержания нерастворившегося  $\text{CaCO}_3$  наряду со значительным увеличением содержания  $\text{CaO}$  св. Образование промежуточных кальциевых минералов, более тугоплавких, нежели зола угля, само по себе способствует замедлению процесса шлакования частиц угля. О протекании процесса синтеза промежуточных минералов свидетельствует и характер изменения степени декарбонизации материала проб, полученных при сжигании шихты с содержанием 57,6% угля и свободного  $\text{CaO}$  в зоне (см. рис. 5, кривые 3 и 4 соответственно).

Выявленный эффект совместного кинцирующего воздействия низкотемпературной плазмы и известняка может иметь важное практическое значение. Так, предварительные расчеты показывают, что при расчете состава сырьевой цементной шихты, используя в качестве добавок к известняку в небольших количествах глину, огарки (в пределах нескольких процентов), можно достичь содержания известнякового компонента в пределах, отвечающих оптимальному в точке зрения интенсификации процесса горения угля.

Одним из вариантов использования данного эффекта может явиться способ эффективного сжигания углей в топках существующих котлов. Уменьшение количества несгоревшего угля в зоне позволит, кроме прочего, повысить ее качественные характеристики с точки зрения добавки в цемент или бетон, так как известно [3], что наличие угля в добавках отрицательно влияет на качественные характеристики цемента (прочность морозоустойчивость и т. д.).

Итак, проведенные исследования подтвердили эффективность применения электродугового плазменного нагрева в качестве инициатора процесса горения высокозольных топлив. Основные результаты согласуются с полученными ранее в отношении изменения температурного режима горения пылеугольного факела, выражавшегося в увеличении температуры горения на начальном участке факела и его укорочении.

Выяснено, что при сжигании углей Подмосковного бассейна в аппаратах типа циклонной топки не удается обеспечить полного выгорания угля на относительном расстоянии до  $l/d=9$  от начала

факела при доле пылевенной энергии до 24%. Отсутствие угля в золовых остатках отмечалось при сжигании в аналогичных условиях угольно-известняковых шихт с содержанием известнякового компонента до 78,6%.

Выявлен эффект положительного влияния известняка на горение угольно-известняковых шихт, инициируемое вводом низкотемпературной плазмы, при его определенных количествах в шихте. Для шихт на основе углей Подмосковного месторождения оптимальным следует считать содержание 30–50% по массе известнякового компонента, обеспечивающее увеличение скорости горения в 2–2,2 раза по сравнению с чистым углем.

#### СПИСОК ЛИТЕРАТУРЫ

1. Ратников В. Ф. Обзор современной мировой конъюнктуры потребления топливно-энергетических ресурсов // Вопросы атом-

ной энергетики и техники. Сер. Атомно-водородная энергетика и технология. — 1983. — Вып. 1 (14).

2. Энергетическое топливо СССР (ископаемые угли, горючие сланцы, торф, мазут и топочный газ). Справочник / И. И. Матвеева, Н. В. Новицкий, В. С. Вдовченко и др. — М.: Энергия, 1979.

3. Гольдштейн Л. Я. Комплексные способы производства цемента. — Л.: Стройиздат, 1966.

4. Смирнов В. П. Котельные установки. — М.: Госэнергоиздат, 1961.

5. Тулко И. К. Производство гидравлических цементов и цементообразующих материалов. Патент США № 4162169, кн. СОИВ 7/14, опубл. 1.05.1979.

6. Влияние дисперсности сырьевой шихты на результаты ее термообработки низкотемпературной плазмой / В. И. Шубин, В. В. Смирнов, В. А. Кулабухов и др. // Цемент. 1988, № 12.

7. Тяговые и атомные электрические станции: Справочник / Под ред. В. А. Тригорьева, В. М. Зорина. — М.: Энергоиздат, 1962.

УДК 666.01.878.04

В. Ф. ЧЕРНЫХ, канд. техн. наук, Д. И. ЧЕНИКОВ, инж.,  
Н. А. ГОЛИКОВА, инж. (Краснодарский политехнический институт)

## Влияние водорастворимых полимеров на сроки схватывания и прочность гипсовых вяжущих

Для модификации реологических и некоторых других свойств гипсовых вяжущих широко применяются различные водорастворимые полимеры [1]. В работах, посвященных вопросу, улучшения характеристик гипсовых вяжущих, исследовалось влияние ряда полимеров на сроки схватывания и механическую прочность гипсовых смесей. Однако отсутствуют сведения о зависимости этих показателей от температуры при добавлении высокомолекулярных модификаторов. Вместе с тем такие сведения полезны при проектировании экструзионных и заливочных смесей, когда в процессе формования возможно заметное повышение температуры.

Исследовано влияние водорастворимых полимеров на сроки схватывания и механическую прочность гипсового вяжущего марки Г-7, изготовленного из гипсового камня Шедокского месторождения (Краснодарский край) и Куйбышевского высокопрочного гипса.

В качестве модификаторов были использованы поликарбонатный сopolимер М-14 ВВ (ТУ 6-01-1070-76) в виде натриевой, калиевой, аммонийной и этиламиновой солей, поливиниловый спирт марок ПВС «В» (ТУ 6-05-190-80) и ПВС «ВД» (ТУ 6-05-156-78), метилцеллюло-

за марки МЦ-100 (ТУ 6-01-1857-78) и оксиэтилцеллюлоза производства опытного завода ВНИИСС в г. Владимире.

Выбор высокомолекулярных добавок обусловливался наличием их промышленного производства и незначительным содержанием в них посторонних примесей, которые могут влиять на гидратацию полуводного гипса.

В исследованиях определяли сроки схватывания гипсового вяжущего при различных температурах с помощью дифференциального-термического анализа (ДТА). За время схватывания принимали время достижения максимума на кривой ДТА, что соответствует максимальному выделению тепла при кристаллизации и потере подвижности гипсового теста.

Испытания проводили следующим образом. В две пробирки диаметром 24 мм загружали 30 г испытуемого материала (гипсового теста с анализируемой добавкой) и такой же массы эталонный материал — одинаковую по содержанию твердой фазы суспензию тонкозернистого кварцевого песка в воде ( $B/F=0,83$ ). В пробирки строго по центру устанавливали хромель-копелевые термопары, которые присоединяли к устройству, позволяющему подавать

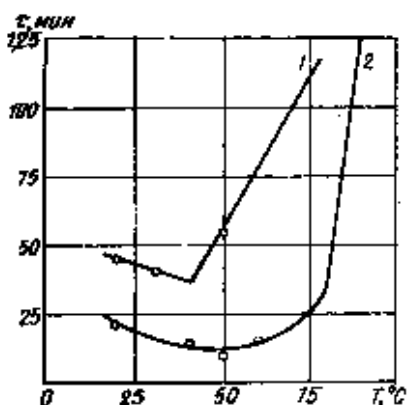


Рис. 1. Зависимость времени схватывания технических гипсов от температуры  
1 — высокопрочный; 2 — строительный

на усилитель сигнал как с каждой из термопар, так и дифференциальный.

Изменение температур фиксировалось самописцем.

Пробирки помещали в ультратермостат с заданной температурой. Зависимость времени начала схватывания технических гипсов от температуры приведена на рис. 1. Видно, что при одинаковом характере зависимости количественное местоположение минимума времени схватывания и острота перехода различны: у строительного гипса этот минимум более размыт и сдвинут в область более высоких температур.

По результатам исследования технических гипсов находили «активацию» энергии гидратации, кДж/моль, по существующей формуле [2] в несколько видоизмененном виде:

$$E_a = 2,303 R \frac{\Delta \lg \frac{1}{\tau}}{T}$$

где 2,303 — коэффициент перевода лог-

тарифмов;  $R$  — универсальная газовая постоянная;  $\tau$  — время гидратации полуводного гипса, мин;  $T$  — температура гидратации, °C;  $\Delta$  — разность логарифмов обратных отношений конечного и начального времени гидратации.

В этих вычислениях за константу скорости реакции принят величина, обратная времени схватывания гипсового вяжущего. Графическое решение уравнения приведено на рис. 2 в координатах

$$\left( \lg \frac{1}{\tau} + 2 \right) - \frac{1000}{T}$$

Видно, что энергия активации как в положительной, так и отрицательной области выше для строительного гипса, чем для высокопрочного, что является, очевидно, следствием различия в характере образующихся кристаллов: в большей степени двумерность образующих структур (преимущественное образование негольчатых кристаллов).

Для выяснения влияния полимеров на процесс твердения гипсовых вяжущих исследовалось схватывание полимергипсовых композиций на основе строительного гипса при 20 и 50°C, когда уже начинает проявляться замедляющее действие температуры, но скорость гидратации еще близка к максимальной.

В качестве полимерных модификаторов использовались ионогенные (соляи сополимера М-14) и неионогенные (поливиниловый спирт, оксигицеллюлоза, метицеллюлоза) полимеры. В случае ионогенных добавок заметна разница между солями разных оснований. Так, натриевая и калиевая соли сополимера М-14 по своему действию на схватывание гипса мало отличаются друг от друга и при 20°C незначительно влияют на гидратацию вяжущего, но при 50°C существенно замедляют его схватывание (рис. 3). Аммонийные соли в малых концентраци-

ях более эффективны при 20 и менее — при 50°C. Неионогенные добавки действуют на время схватывания почти одинаково: при 20°C оно замедляется, при 50°C остается постоянным или несколько уменьшается.

Влияние полимерных добавок на механическую прочность гипсового камня изучали на образцах-кубиках из теста влажностью 25% ( $B/G=0.33$ ) размером  $2 \times 2 \times 2$  см. Образцы испытывали на сжатие после высушивания до постоянной влажности; число образцов для испытания — 6, коэффициент вариации — 5%.

Проследиваются некоторые закономерности в действии ионогенных добавок на прочность строительного и высокопрочного гипсов. Для первого характерно повышение прочности с максимальным значением при содержании добавки 1—1.5% массы вяжущего, затем некоторое снижение. Прочность высокопрочного гипса снижается с достижением его минимального значения при содержании полимера 1%, затем несколько увеличивается. По-разному действуют и добавки: максимальное увеличение прочности наблюдается при использовании триэтанаминовой соли в аммиачной. Натриевая соль менее эффективна, при калиевой — прочность строительного гипса сохраняется прежней, пока концентрация ее не превышает 1%, затем этот показатель снижается. Прочность высокопрочного гипса с этой добавкой уменьшается по линейному закону.

Что касается неионогенных полимеров, то с введением поливинилового спирта «ВД» в начальных концентрациях прочность обоих видов гипсов несколько увеличивается, затем остается постоянной.

Оксигицеллюлоза действует подобно калиевой соли М-14, только вызывает меньшее снижение прочности.

Метицеллюлоза увеличивает прочность строительного гипса подобно аммиачной соли М-14 (максимальное значение достигается при концентрации добавки 1—1.5%) и снижает — высокопрочного по линейному закону, как оксигицеллюлоза и калиевая соль М-14.

Проведенные исследования показали, что сополимер М-14 (особенно в виде аммиачной в триэтанаминовой соли) является эффективным модификатором строительного гипса при повышенных температурах, он способствует увеличению прочности вяжущего на 40—70% и значительно замедлению схватывания.

#### СПИСОК ЛИТЕРАТУРЫ

- Балю С., Мишик А. А. Секко то съккай Gips and Lime. 1977, № 151.
- Эксперимент. Н. М., Квирре Д. Г. Курс химической кинетики. — М.: Высшая школа, 1969.

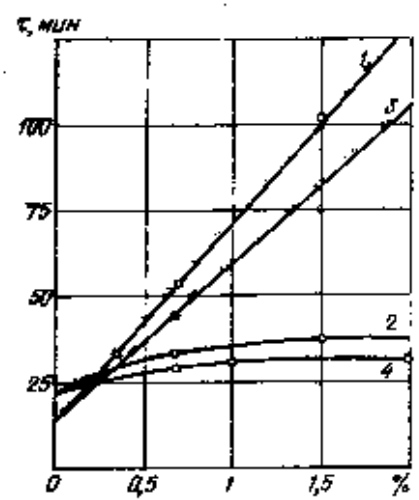


Рис. 2. Определение энергии активации строительного (1) и высокопрочного (2) гипсов  
1, 3 — при  $T = 50^\circ\text{C}$ ; 2, 4 — при  $T = 20^\circ\text{C}$

К. К. ЭЙДУКЯВИЧОС, канд. техн. наук, Г. П. АБРАМОВ, канд. техн. наук,  
Б. В. ЛУЖА, инж. (ВПНИИ теплонизоляции), С. Н. ГУЩИН, канд. техн. наук,  
О. Н. КОНОВАЛОВ, инж. (Уральский политехнический институт)

## Физическое моделирование аэродинамических процессов в ванной печи минераловатного производства

Математическое моделирование процессов внешнего теплообмена, происходящего в печах, требует знания физических величин, в частности, коэффициента теплоотдачи конвекцией, характеристик массообмена при движении газовых потоков и др., которые могут быть определены только экспериментальным путем. Однако определение этих величин на натурных промышленных печах весьма трудно. В связи с этим для исследования аэродинамики и теплообмена в рабочем пространстве тепловых агрегатов были использованы изотермические физические модели.

Особое внимание при разработке модели уделялось обеспечению подобия модели исследуемому образцу, чтобы, кроме характера движения газовых потоков, было возможно определить их скорость, интенсивность теплообмена и коэффициент конвективной теплоотдачи в рабочем пространстве печи.

Объектом исследования является ванная регенеративная печь с подковообразным направлением движения газов, предназначенная для получения расплава с последующей переработкой в минераловатные изделия. Площадь зеркала расплава в бассейне глубиной 500 мм составляет 62,56 м<sup>2</sup>. Глубина жидкого расплава в ванне — 120–160 мм. Отопление печи осуществляется с помощью

двух горелок, расположенных в одной из торцевых стен симметрично ее оси. К противоположной торцевой стене прикреплен фидер, предназначенный для выпуска расплава на водоизаборное устройство.

Каждая горелка состоит из отгонупорной конструкции для подачи вентиляторного воздуха и отвода продуктов горения, а также двух газовых сопел, установленных в боковых стенах горелок. Подогрев воздуха, идущего на горение, до 900°C, осуществляется в регенераторах, заполненных отгонупорной насадкой. За время между перекидками пламени (25–30 мс) колебания температуры в верхней части регенераторов достигают 150–200°C. Продукты горения из пламенного пространства печи отводятся вследствие разрежения, создаваемого дымовой трубой высотой 40 м. Загрузку шихты в печь производят шековые устройства, установленные по четыре с каждой боковой стороны.

Для достижения соответствия происходящих в модели и исследуемой печи аэродинамических процессов необходимо прежде всего обеспечить геометрическое подобие модели образцу с использованием выбранного масштаба  $M=1/15$  и равенства числа Рейнольдса  $Re_{\text{мод}} = Re_{\text{образ}}$ .

Проведенные натурные замеры сечения горелок печи, а также рассчитанные расходы моделирующей среды в мо-

дели в зависимости от расхода газа в образце и равенства количества движения секундной массы моделирующей и натуральной сред позволили перейти от расчетного равенства критериев к равенству их соотношений. Кроме того, при расчетах использовались данные, приведенные в работах [1, 2].

При расчете модели были использованы режимные характеристики натурной печи: расход, м<sup>3</sup>/ч: газа — 450; воздуха — 6000; площадь сечения горелки — 0,766 м<sup>2</sup>; температура подогрева воздуха — 900°C; диаметр газового сопла — 0,0066 м.

Рассчитанная из равенства критериев Рейнольдса скорость истечения моделирующей среды из сопла лежит зазвуковым барьером. Создание такой скорости на модели затруднено, так как для этого необходимо изготовить микроскопию Лаваля. Чтобы избежать этого, была проведена корректировка расхода газа (в качестве среды, моделирующей газ, был использован компрессорный воздух) и воздуха, идущего на горение, при неизменном их суммарном расходе.

Это позволило создать из оргстекла модель печи (рис. 1), состоящей из рабочего пространства, горелок с вынутыми газовыми соплами и регенераторов. Последние выполнены в виде двух коробок, сопротивляющиеся одной из которых (на стороне подачи воздуха в модель) изменялись с помощью регулирующей заслонки, а создаваемое дымовой трубой разрежение моделировалось отсыпающим вентилятором.

Присоединение горелок к рабочему пространству печи с помощью разъемных фланцев позволяло в ходе экспериментов менять форму и расположение куч шихты, что очень важно, так как форма и размеры куч, особенно мелкодисперсной шихты, оказывают большое влияние на интенсивность плавления и сроки службы агрегата. Затем была смонтирована экспериментальная установка, включающая в себя описанную выше модель печи, тягодутьевое оборудование и измерительную аппаратуру (рис. 2).

Во время пусконаладочных экспериментов выяснилось, что компрессор, работающий в импульсном режиме, не обеспечивает постоянное давление перед газовыми соплами. С целью выравнивания давления компрессорного воздуха в схему был включен ресивер, снабженный манометром для контроля за давлением подаваемого в сопла воздуха, которое регулируется с помощью сбрасывающего клапана ресивера.

Для создания рабочего режима в модели был использован центробежный вентилятор, присоединенный к модели своим отсасывающим патрубком. Вентилятор устойчиво работал при расходе воз-

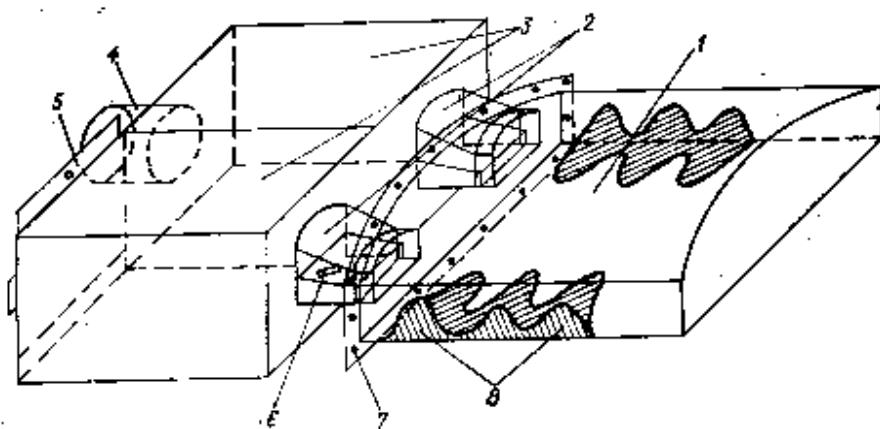


Рис. 1. Модель вакуумной регенеративной печи:  
1 — рабочее пространство; 2 — горелка; 3 — регенераторы; 4 — отсасывающий патрубок; 5 — регулирующая заслонка; 6 — газовые сопла; 7 — фланец; 8 — кучи шихты

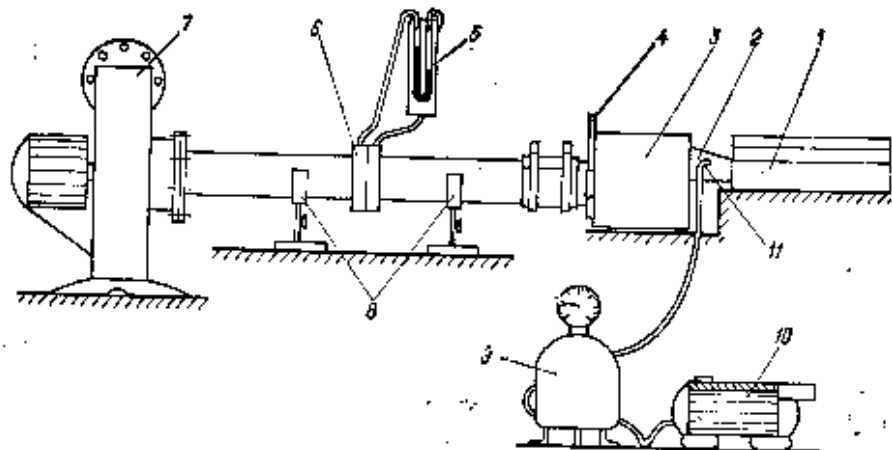


Рис. 2. Экспериментальная установка

1 — рабочее пространство печи; 2 — горелки; 3 — регенераторы; 4 — регулирующая заслонка; 5 — U-образный манометр; 6 — диафрагма; 7 — отсасывающий вентилятор; 8 — опоры воздушно-шахтного вентилятора; 9 — ресивер; 10 — компрессор; 11 — газовые сопла

духа от 20 до 250 м<sup>3</sup>/ч, который измеряли с помощью двойной диафрагмы и манометра.

В ходе эксперимента были использованы как точные модели регенераторов с насадками, выполненнымными из деревянных реек, так и упрощенные воздушные коробки, обеспечивающие безударную подачу воздушного потока в рабочее пространство и удаление из него.

Отмечено, что установка работает устойчиво в достаточно широких диапазонах расходов компрессорного и просасываемого воздуха, позволяющих обеспечить практически любой из рабочих режимов котурной печи.

Сопоставление скоростей газов в отдельных точках, измеренных на натурной печи и ее моделях, показало практически полное их совпадение, что подтверждает адекватацию образца и модели.

Исследование аэродинамики рабочего пространства ванной печи на изотермической модели. Характер движения газовых потоков в рабочем пространстве печей оказывает заметное влияние на их тепловую работу и в значительной степени определяет сроки службы верхних строений огнеупорных ограждающих конструкций.

В высокотемпературных плавильных агрегатах, к которым относятся и ванные печи минераловатного производства, большая часть теплоты поступает на поверхность ванны в виде лучистых потоков. Эффективность тепловой работы печи находится в прямой зависимости от насыщенности факела, угла атаки поверхности расплава газовой струей, наличия непосредственного контакта раскаленного потока газов с огнестойкой кладкой и т. д. В связи с этим важно знать характер, скорость и направление движения газовых потоков в рабочем пространстве печи.

Для ванных печей с подковообразным направлением движения газов харак-

терна кучевая загрузка шихты, осуществляющаяся через окна в боковых стенах в четырех сечениях по длине печи. Вследствие малой теплопроводности шихты воспринимаемая с поверхности куч теплота распространяется в глубину слоя очень медленно. В связи с этим кучу можно рассматривать как термически массивное тело, нагрев которого происходит при граничных условиях I рода, когда поверхность очень быстро достигает температуры плавления шихты и затем остается практически постоянной [3]. Расплавившаяся шихта стекает в ванну, обнажая последующие слои, которые в свою очередь, получив необходимое количество теплоты, переходят в жидкое состояние. В результате процесс плавления происходит непрерывно в тонком поверхностном слое куч.

Чтобы условия плавления шихты были одинаковы для всего рабочего пространства, необходимо обеспечить постоянство результирующих тепловых потоков на поверхности куч и средней температуры газов по всей длине печи. В свое время проведены [4] работы по совершенствованию горелочных узлов, созданию более настального факела, однако характер движения газов в рабочем пространстве ванной печи не изучался. Более того, есть основания предположить, что при различных соотношениях длины и высоты рабочего пространства печи направление движения газов не имеет подковообразного характера, а представляет собой более сложные формы.

Для изучения аэродинамики рабочего пространства ванной печи проведены экспериментальные исследования на физической модели (см. рис. 1) с использованием двух методик.

Качественную картину движения газового потока устанавливали визуально с помощью нитяного «султанчика», представляющего собой тонкий металлический стержень, на конце которого за-

креплена тонкая нить. Для введения стержня в рабочее пространство в своде модели печи предусмотрены 42 отверстия (на рис. 1 не показаны) — по шесть по длине в семи поперечных сечениях. Попеременно открывая каждое из отверстий, в рабочее пространство вводили «султанчик» и во отклонению нити судили о направлении газового потока в данной точке. Каждое из локальных направлений фиксировалось, и в итоге получена картина движения воздушного потока в рабочем пространстве для отдельных сечений печи.

Общая картина движения наблюдалась с помощью перфорации, вводимой через отверстие в своде регенератора на магнитающей горелки. Легкую перфорацию подхватывал воздушный поток и она показывала пространственную картину движения воздуха в печи.

Качественные характеристики газового потока измеряли с помощью предварительно протарированной планиметрической микротрубки, которая крепилась на металлическом координатнике, имеющем горизонтальный бегунок и вертикальную измерительную линейку, что позволило точно фиксировать положение микротрубки в рабочем пространстве печи. Измерения по высоте выполняли через каждый сантиметр в двух положениях — для прямого и бокового потоков. Динамическое давление фиксировали с помощью микроманометра ММН. Результаты экспериментов представлены на рис. 3—5.

Воздушный поток, выходящий из горелки, движется по поверхности зеркала ванны вдоль ближайшей к этой горелке боковой стены, постепенно расширяясь и смешаясь влево (см. рис. 3, а). Более симметричным относительно оси печи оказалось движение для сечения, расположенного на высоте 40 мм от уровня расплава (см. рис. 3, б). В сечении, находящемся на высоте 70 мм, воздушный поток со стороны подающей горелки уже занимает значительно меньшую площадь чем поток, движущийся к отводящей горелке (см. рис. 3, в). Под сводом прямой поток практически отсутствует, а обратный у задней торцевой стены занимает всю ширину печи (рис. 3, г). Рециркулирующая зона с высотой смешается в сторону подающей горелки.

В вертикальных сечениях рабочего пространства характер движения газов резко отличается один от другого (рис. 4). На оси магнитающей горелки преобладает прямой поток и зона рециркуляции не велика (см. рис. 4, а). Воздушный поток, дойдя до торцевой стены, поднимается вверх, занимая почти всю подсводовую область.

В центре модели по оси рабочего про-

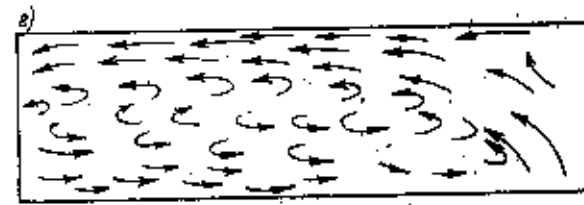
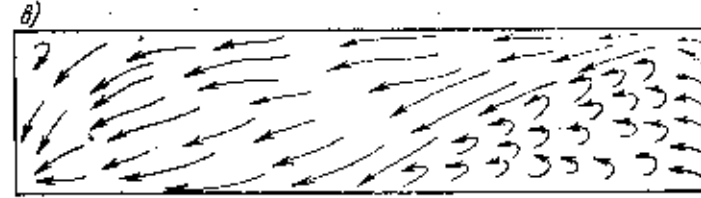
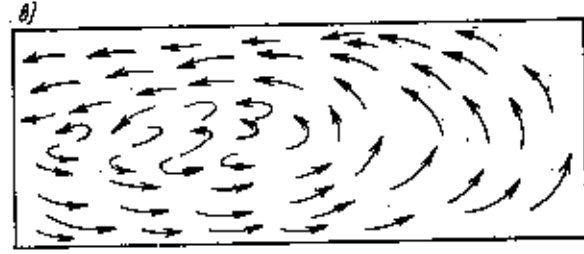
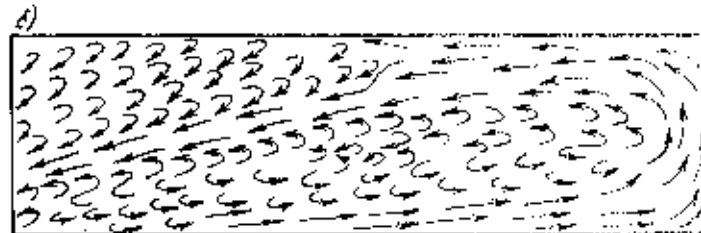
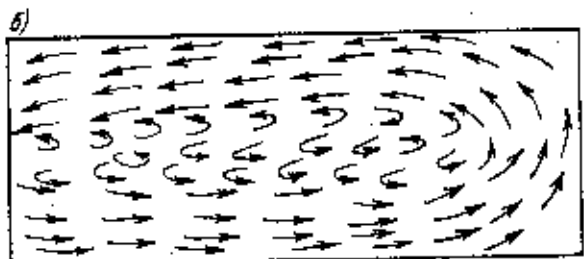
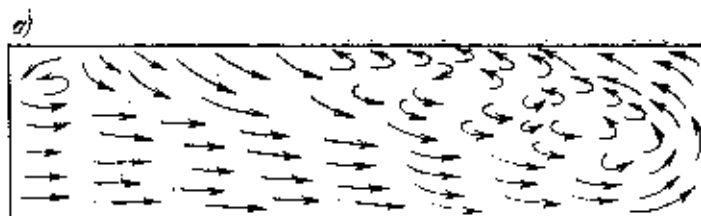
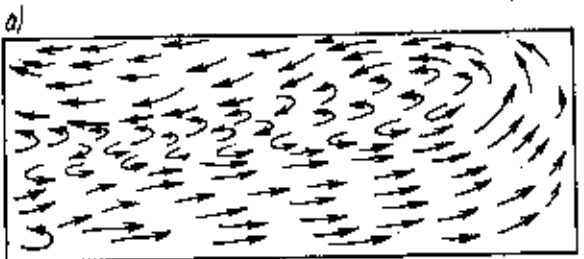


Рис. 3. Характер движения газов в горизонтальных сечениях рабочего пространства печи  
а — над поверхностью «расплата»; б — на высоте 40 мм; в — то же 70 мм; г — под сводом

Рис. 4. Характер движения газов в вертикальных сечениях рабочего пространства печи  
а — по оси нагнетающей горелки; б — то же, рабочего пространства;  
в — то же, отводящей горелки

странства образуется обширная зона циркуляции. Начало ее лежит над полом между горелками, а конец — в середине задней стенки (см. рис. 4, б).

По оси отводящей горелки обратный поток, двигаясь от задней стенки, расширяется по высоте рабочего пространства, как бы вытесняя зону циркуляции, и уходит в отводящую горелку (см. рис. 4, в).

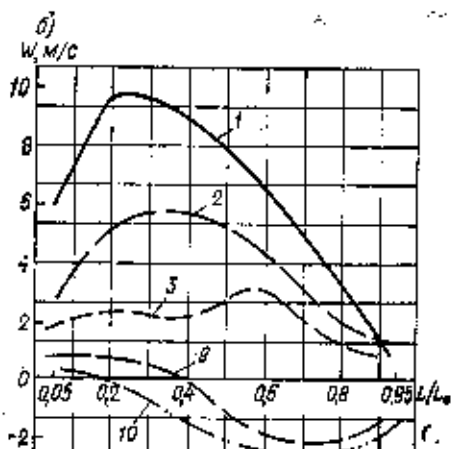
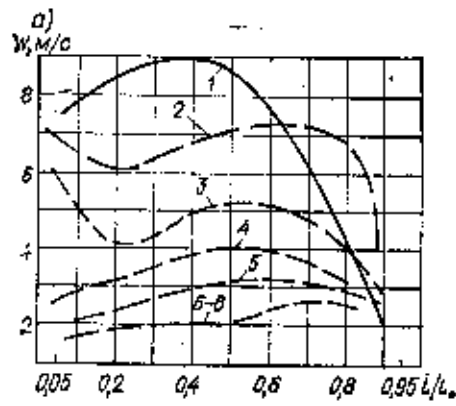
Полученные данные не соответствуют существующим представлениям о симметричном, противоположном направлении подковообразном движении газов в рабочем пространстве печи. Очевидно, что движение газов имеет сложный винтообразный пространственный характер. Сделанные выводы облегчают исследование профиля скорости газов и позволяют найти характерные точки граничных зон и зон рециркуляции, что особенно важно при разработке математической модели печи.

Измеренные пневрометрической маногрубкой значения динамического давления позволили рассчитать действительные скорости воздушного потока во всех семи сечениях (рис. 5).

Установлено, что максимальные скорости газового потока наблюдаются вблизи подающей горелки (рис. 5, а, кривая 1). Наибольшие их значения — над полом на расстоянии  $L/L_0=0.4$ . По мере удаления от среды подающей горелки скорость газового потока падает. Одновременно заметно уменьшается скорость потока газов по мере удаления от уровня зеркала «расплата». На высоте 0,04 м (рис. 5, а, кривая 3) она практически остается постоянной. По-видимому, это свидетельствует о том, что именно здесь находится граница зоны действия высокоскоростной струи, выходящей из сопел.

Направление движения потока на противоположное меняется в сечении 3 на длине  $L/L_0=0.42$  (рис. 5, б), кривые 7—9, 10, т. е. поток, достигший задней стенки

►  
Рис. 5. Характер изменения скорости движения газов по длине рабочего пространства в различных сечениях по ширине печи  
а — вблизи правой стены за нагнетающей горелкой; б — по оси рабочего пространства на высоте (номера правых — сечений по высоте от подиума к своду)  $w$  — скорость потока газов;  $L/L_0$  — относительные расстояния от горелок до сечения, в котором выполнялись измерения;  $c$  — длина рабочего пространства печи



ви этой высоте изогибают и подсводовое пространство, причем от возрастает, так как поперечное сечение обратного полюса меньше прямого.

Таким образом, можно заключить, что движение ганов в рабочем пространстве регенеративной ванной печи имеет сложный пространственный характер, причем подковообразная форма движения несимметрична и заметно смешена к сбоку, особенно при обратном движении, и внутри подковы располагается обширная зона циркуляции. Наибольшие значения скорости потока наблюдаются вблизи поверхности расплана.

#### СПИСОК ЛИТЕРАТУРЫ

1. Зобовин Б. Ф., Квачев М. Д., Монхарис И. Б. Узоконкавернитивные проявления по физической модели процессов движения ганов в нагревательных печах // В. сб. Математические и физические моделирование процессов в теплоизолирующих установках. Извлекло: Изд. Иркутского гос. университета, 1988.
2. Теплотехнические расчеты металлургических печей / Под. ред. А. С. Телегина. М.: Металлургия, 1982.
3. Гоберне С. Ю., Кукин И. И. Опыт эксплуатации новых печей минерализующего производства. М.: Госстройиздат, 1979.
4. Гоберне С. Ю., Абрамов Г. П., Лужа Б. В. Опыт эксплуатации новых печей в производстве минерализованных изделий // Стройт. материалы. № 3, 1978.

## В дополнение к опубликованному

В журнале (№ 6, 1989 г.) напечатана статья проф. А. В. Волжского «Изменения в абсолютных объемах фаз при взаимодействии неорганических вязущих с водой и их влияние на свойства образующихся структур». В ней представлены важные расчеты изменения абсолютных объемов твердых фаз веществ в сжатой системе, и также концентраций объемов пор, возникающих между частичками полубразования.

Анализ полученных данных позволил автору разработать теорию о влиянии абсолютных объемов фаз и минимальных объемов пор, характерных для каждого вязущего, на объемные деформации систем «вязущее+вода» в зависимости от концентрации вязущего в % по массе и, следовательно, от водопоглощения отвечающей в сжатых системах. При этом объемное деформирование предпринимают не абсолютный объем новой твердой фазы, а сумма объемов твердой фазы и квазичистых пор. Величина последних зависит от вида вязущего и условий твердения.

Отсюда выясняется вывод, что нет специальных видов вязущих (усадочных, расширительных, поглощающих), любое вязущее при соответствующей концентрации по массе в сжатой системе может давать структуры усадочные, расширительные, напротивные. Оптимальные же безусадочные структуры образуются при оптимальной концентрации вязущего, специфичной для каждого вязущего.

К сожалению, в статье имеются погрешности, затрудняющие понимание смысла некоторых фраз и расчетов. Например, на стр. 26 (вторая полоса) дана формула  $V_2/V_1 = \frac{1}{(1 + \frac{V_1}{V_2})^2}$ , где  $V_1$  — (Цо). (Цо). Следующая под кей формула не ясна. На стр. 27 (третья полоса, первый абзац сверху) написано «ибо более... следует... «и более». В табл. 2 изложено следующее: «и более» следует титул «консистенция, Ог. смесь».

Т. М. БЕРКОВИЧ, проф., д-р техн. наук,  
А. А. ФЕДИЩ, проф., д-р техн. наук

# ИЩЕМ ПАРНЕРОВ КАК ИСПОЛЬЗОВАТЬ ОТХОДЫ?

## РЕШИТЬ ЭТУ ЗАДАЧУ ВАМ ПОМОЖЕТ ВНИИДРЕВ!

Мы передадим Вам технологию производства прессованных конструкционных заготовок (ПКЗ) из древесных опилок, стружки, спичечной соломки, сухих стеблей сельскохозяйственных культур и прочих отходов производства.

**ПКЗ** — это отличный строительный материал. Он не горюч, не подвержен гниению, не токсичен. Применяется для строительства садовых домиков, гаражей, хозяйственных построек. Однокомнатный садовый домик из ПКЗ полезной площадью 20 м<sup>2</sup> можно собрать за 2 дня.

Мы передадим Вам не только технологию, но и комплект оборудования, необходимого для организации производства ПКЗ:

- пресс гидравлический;
- рубильную машину;
- бункеры-дозаторы для сухого и влажного древесного сырья и магнезита;
- емкости для приготовления, хранения и дозирования раствора бишофита;
- смеситель для смешивания древесной массы со связующим;
- бункер для готовой смеси;
- раздаточный конвейер для линии из пяти прессов;
- стол-фиксатор;
- пакетирующее устройство для готовой продукции.

Из отходов переработки гречихи и риса изготавливаются профильные плиты на минеральном и синтетическом связующем с использованием традиционного оборудования для древесно-стружечных плит. Они красивы, оригинальны, не требуют дополнительной обработки и отделки.

ДЛЯ ЭТОГО МЫ ПРЕДОСТАВИМ:  
нормативно-техническую документацию;  
технические предложения на организацию производства;  
исходные требования на оборудование;  
технические условия;  
нормы расхода сырья и материалов, цены.

ЗАПРОСЫ НАПРАВЛЯТЬ ПО АДРЕСУ: 249000, г. БАЛАБАНОВО,  
КАЛУЖСКАЯ ОБЛ., п/л. 50 ЛЕТ ОКТЯБРЯ, 1, ВНИИДРЕВ.  
Телефон: 2-21-62

# ВНИМАНИЮ АВТОРОВ

Редакция журнала «Строительные материалы» просит авторов при подготовке статей выполнять следующие требования:

1. Рукописи представляют в двух экземплярах, напечатанные через два интервала на одной стороне листа с четким изображением текста.
2. Рисунки (графики, схемы, чертежи) и фотографии (черно-белые, на глянцевой бумаге) должны иметь четкое изображение, представляются в двух экземплярах.
3. Материал должен сопровождаться авторефератом размером до половины страницы и экспертным заключением.
4. Все формулы и буквенные обозначения четко и разборчиво вписывают в текст от руки, греческие буквы выделяются красным цветом и на поля выносят их названия. Прописные буквы подчеркивают двумя черточками снизу, строчные — двумя черточками сверху. Кроме этого, следует написать все формулы (одну под другой в порядке нумерации) на отдельной странице.
5. Список использованной и цитируемой литературы приводят в конце статьи (ссылки на нее даются в тексте). В списке литературы указывают фамилию и инициалы всех авторов, точное название книги (журнала, статьи), издательство, место и год издания. Ссылки на неопубликованные работы не допускаются. На иностранный текст требуется дубликат.
6. Статьи обязательно должны быть подписаны всеми авторами. В конце рукописи помещают полное название института или предприятия, где проводилась работа, учёные степень и звание, фамилию, имя, отчество авторов полностью, домашний и служебный адрес (с шестизначным индексом) и телефон, по которым редакция может связаться с авторами.
7. Сокращения в тексте и тем более в таблицах не допускается, за исключением принятых ГОСТом.

## Рефераты опубликованных статей

УДК 669.232.2.004.16

Лазоватский Г. А. Ресурсосберегающие технологии разработки угольных месторождений // Стройт. материалы. 1990. № 2. С. 4—7. Рассмотрены перспективы развития карьеров отрасли в горных районах. Показана эффективность применения в этих сложных условиях ресурсосберегающего технологического комплекса горных работ, включающего гравитационного транспорта, преимущества его в сравнении с традиционной кранической технологией. Приведены практические примеры из зарубежной и отечественной практики. Ил. 4, табл. 1, библ. 4.

УДК 666.192.002.237

Городецкий В. А., Важеник Е. В., Падий Г. А. Промышленные технологии получения высокодисперсного кремнезема // Стройт. материалы. 1990. № 2. С. 7—8.

Описана технология промышленного получения высокодисперсного золя кремневой дисперсии, используемого в качестве связующего при производстве высококачественных теплоизоляционных изделий для высокотемпературной изоляции. Приведены технические характеристики кремнезема и теплоизоляционных изделий на его основе. Ил. 1, библ. 6.

УДК 666.973.24-678.746.22.06—405.2.662.999

Конструкционный землечуговый бетон и теплоизоляционный полистиролбетон для трехслойных наружных стен // Х. Х. Магдебегов, А. В. Лифшиц, Б. Я. Штайн, А. А. Биркерт // Стройт. материалы. 1990. № 2. С. 9—12.

Предложен рациональный состав полистиролбетонной смеси, который позволяет получать теплоизоляционный полистиролбетон с требуемыми физико-механическими и теплотехническими показателями для трехслойных наружных линий и укладывать на него через 15—20 мин первичный слой конструкционного землечугового золотникового бетона. Обоснована возможность применения для отгружаемых слоев трехслойных наружных стен зданий золотниковых бетонов марки 200 вместо тяжелого бетона такой же марки, приготовленного на известняковом щебне. Табл. 2, ил. 2.

УДК 691.144.002.237

Влияние полизтиленовых волокон на свойства битумов и рубероида // В. Н. Болотова, Т. В. Герасимова, М. Г. Веденкина и др. // Стройт. материалы. 1990. № 2. С. 13—18.

Рассмотрены свойства битумно-полизтиленовой покрытий, имеющие широкое применение в строительстве. Выпущены опытные партии рубероида на Омскотрестком картонажном заводе. Установлено, что показатели свойств материалов улучшены: отмечено снижение на стержне радиусом закручивания 10 мм при 0°C вместо требуемого стандартом — на стержне радиусом 16 мм при +25°C. Сделан вывод, что прорулевый материал с битумно-полизтиленовыми волокнами в течение 10—12 лет не разрушается. Табл. 2, библ. 3.

УДК 666.91.04

Исследование инициирующего влияния высокотемпературной плазмы на процессы горения угольно-каустиковых шихт // В. Н. Шубин, В. В. Смирнов, В. А. Кулаков, Ю. Ф. Химкин // Стройт. материалы. 1990. № 2. С. 22—25.

Представлены результаты экспериментальных исследований влияния высокотемпературной плазмы на горение высокозольных угляй и угольно-каустиковых шихт на их основе. Доказана эффективность применения высокотемпературной плазмы в качестве инициатора процесса горения твердого топлива и выявлен эффект положительного воздействия известики на химистику горения при его определенном содержании в сырьевых шихтах. Табл. 1, ил. 6, библ. 7.

УДК 666.91.678.04

Черных В. Ф., Чекиков Д. И., Годикова Н. А. Влияние волокнисторых полимеров на сроки скваживания и прочность гипсовых втулок // Стройт. материалы. 1990. № 2. С. 25—26.

Рассмотрены композиции на основе гипса с добавками волокнисторых полимеров ионогенного и неконогенного типов. С помощью метода ДТА показано влияние указанных добавок на сроки скваживания гипса при нормальной и повышенной температурах. Приведены результаты испытания на механическую прочность полимеризованных композиций. Установлена целесообразность использования аминной и этиловаминовой соды сopolимера М-14 в качестве гидромодификаторов при повышенных температурах, что позволяет значительно увеличить скорость скваживания гипса и узелить прочности изделий. Ил. 3, библ. 2.

УДК 669.138.004.29.041.43.001.24

Физическое моделирование аэродинамических процессов в вакуумной печи минераловатного производства // К. К. Элдукягинич, Г. П. Абрзасов, С. Н. Сущин, О. Н. Коховиков, В. В. Лужа // Стройт. материалы. 1990. № 2. С. 27—30.

Представлены результаты изучения аэродинамики в рабочем пространстве тепличных агрегатов с помощью физической и термической модели пакетной печи минераловатного производства. Установлена, что модель пакетной печи позволяет создать практически любой рабочий режим нагрева печи. Выявлено, что движение газов в рабочем пространстве регенеративной печи имеет сложный пространственный характер, а внутри «подковы» располагается общирная зона циркуляции. Наибольшие значения скорости потока наблюдаются вблизи поверхности теплички. Ил. 5, библ. 4.

## IN THE ISSUE

Information of the State association of building material industry  
*Lazovatsky G. A.* Resource saving technology of deposit mining  
*Gorodetsky V. A., Vazhenin E. V., Palić G. A.* Industrial technology of highly dispersed silica ash production  
*Bolotova V. N., Gerasimova T. V., Vedekhina M. G., Tabolina L. S., Fedossova V. A., Savko V. I.* The influence of polyethylene waxes on the properties of bitumen and ruberoid  
*Magdeev U. Kh., Lifschits A. V., Stein B. Ya., Birman A. A.* Structural ash and sand concrete and heat insulating polystyrene concrete used for sandwich panels of outside walls  
*Filippova L. S.* International seminar on construction quality provision  
*Tishenko V. V., Nisnevitch M. L., Lewkowa N. S.* International standardization in the field of non-metallic building material and natural stone facing material industry  
*Starchenko G. O.* A new design arrangement of conic-type hydraulic screens  
*Khorov L. T.* Cardboard and roofing felt production enterprises operating under new economic conditions  
*Posysajew N. S.* Cheque application within profit-and-loss accounting system  
*Shubin V. I., Smasnow V. V., Kulabukhov V. A., Chnykin Ju. F.* Investigation of initiating effect of low-temperature plasma on burning processes of coal and lime charges  
*Chernykh V. F., Chenikov D. I., Galikova N. A.* The effect of water-soluble polymers on setting period and strength of gypsum binders  
*Eidukjatichus K. K., Abramov G. P., Guschtchin S. N., Konovalov O. N.* Physical simulation of aerodynamic processes in the bath furnace intended for mineral wool production

## IN DER NUMMER

Information der Staatlichen Assoziation der Baustoffindustrie  
*Lazovatzki G. A.* Ressourcensparende Technologie des Abbaues von Gewinnungsstellen  
*Gorodezkij W. A., Waschenin E. W., Palić G. A.* Industrielle Technologie der Herstellung von hochdispersgierten Kremsesol  
*Bolotowa W. N., Gerassimowa T. W., Wedekhina M. G., Tabolina L. S., Fedossova W. A., Savko W. I.* Einfluss von Polyäthylenwachsen auf die Eigenschaften von Bitumen und Roberoiden  
*Magdeew U. Ch., Lifschiz A. W., Stein B. Ya., Birman A. A.* Konstruktiver aus Asche und Sand hergestellter Beton und wärmedämmender Polystyrolbeton für dreischichtige Außenwandplatten  
*Filippowa L. S.* Internationales Seminar für die Gewährleistung von Qualität im Bauwesen  
*Tischenko W. W., Nisnewitsch M. L., Lewkowa N. S.* Internationale Standardisierung in der Industrie von nichtmetalligen Baustoffen und Putzmaterien aus Naturstein  
*Startchenko G. G.* Neue Konstruktionsausführung von konischen hydraulischen Siebanlagen  
*Charov L. T.* Die Betrieben für Pappe- und Ruberoidherstellung unter den neuen Bedingungen der Wirtschaftsführung  
*Posysajew N. S.* Wirtschaftliche Rechnungsführung mit Scheckenanwendung  
*Shubin V. I., Smasnow W. W., Kulabukhov V. A., Chnykin Ju. F.* Untersuchung der Anfangswirkung von Niedertemperaturplasmen auf die Prozessen der Verbrennung von aus Kohl und Kalkstein bestehenden Beschickungsmassen  
*Tschernych W. F., Tschenikow D. I., Galikowa N. A.* Einwirkung von wasserlöslichen Polymeren auf Abbindezeiten und Festigkeit von Gipsbindemitteln  
*Eidukjatichus K. K., Abramov G. P., Guschtchin S. N., Konovalow O. N.* Physikalische Modellierung von aerodynamischen Prozessen im Wanneofen für Mineralwolleherstellung

## DANS LE NUMERO

L'Association nationale d'industrie des matériaux de construction vous informe  
*Lazovatski G. A.* La technologie économisant les ressources pour exploiter les gîtes de montagne  
*Gorodetski V. A., Vajenine E. V., Palić G. A.* La technologie de production de kremnezol de haute dispersité  
*Bolotova V. N., Guerassimova T. V., Vedekhina M. G., Tabolina L. S., Fedossova V. A., Savko V. I.* L'impact des étres de polyéthylène sur les propriétés des bitumes et du rubéroïde  
*Magdéev U. X., Lifschits A. V., Shtain B. Y., Birman A. A.* Le béton de cendres et de sable et le béton calorifuge à polystyrène pour les panneaux à trois couches de murs extérieurs  
*Philippova L. S.* Le séminaire international sur la qualité de la construction  
*Tishenko V. V., Nisnevitch M. L., Lewkowa N. S.* La normalisation internationale dans l'industrie des matériaux pierreux naturels  
*Startchenko G. G.* La nouvelle construction des cribles coniques hydrauliques  
*Khorov L. T.* Le nouveau système de gestion dans la production de carton et de rubéroïde  
*Possyssaev N. S.* L'autonomie comptable avec l'utilisation des chèques  
*Choubine V. I., Smasnow V. V., Koula-boukhov V. A., Khnykine Y. P.* L'étude de l'impact initiateur du plasma à basse température sur la combustion des compositions de charbon et de calcaire  
*Tschernykh V. F., Tschernikow D. I., Galikova N. A.* L'impact des polymères solubles dans l'eau sur la rapidité de prise et la résistance des lâts plâtreux  
*Eidouklatichous K. K., Abramov G. P., Gouchtchine S. N., Konovalow O. N.* La simulation physique des processus aérodynamiques dans les fours à bain de la production de la laine minérale

### Редакционная коллегия:

М. Г. РУБЛЕВСКАЯ (и. д. главного редактора),  
Н. В. АССОВСКИЙ, А. С. ВОЛДЫРЕВ, Ю. М. ВИНОГРАДОВ, А. В. ВОЛЖЕНСКИЙ,  
Х. С. ВОРОБЬЕВ, Ю. А. ВОСТРЕЦОВ, Ю. В. ГУДКОВ, Б. К. ДЕМИДОВИЧ, Л. Б. ЗАВАР,  
А. Ю. КАМИНСКАС, П. М. ЛУКЬЯНЧУК, А. Н. ЛЮСОВ, Л. А. МАТЬЯТИН, Б. П. ПАРИМБЕТОВ,  
А. Ф. ПОЛУЯНОВ, С. Д. РУЖАНСКИЙ, Ю. Л. СПИРИН, И. Б. УДАЧКИН,  
Н. И. ФИЛИППОВИЧ, Л. С. ВЛЫКИН

Адрес редакции: 103051, Москва, Большой Сухаревский пер., д. 19.  
Тел.: 204-57-78

Составление обложки художника  
В. А. Андронова

Технический редактор Е. Л. Санчурова  
Корректор М. Е. Шабалина

Сдано в набор 20.12.89.  
Подписано в печать 01.02.90.  
Формат 60x90 $\frac{1}{4}$ . Бумага хвоя-журнальная  
Печать высокая Усл. печ. л. 4,0  
Усл. хр.-отт. 6,0 Уч.-изд. л. 6,0  
Тираж 15948 экз. Зак. № 486 Цена 80 к.

Подольский филиал ПО «Периодика»  
Государственного комитета СССР по печати  
142110, г. Подольск, ул. Хорова, д. 26